

Regione: Sicilia  
Provincia: Palermo  
Comune: Monreale  
Località: Trenta-Ravanusa

# IMPIANTO AGRIVOLTAICO "MONREALE-C.DA TRENTA" DELLA POTENZA DI 40 MW IN IMMISSIONE PROGETTAZIONE DEFINITIVA

Titolo: AGRFV-PA-REL004A0

Relazione elettrica e calcoli preliminari

Allegato:

**B.1**

Progettazione:

Visti / Firme / Timbri:



Ing. Maurizio Moscoloni

Note:

Data	Rev.	Descrizione revisioni	Elaborato da:	Controllato da:	Approvato da:
11.04.2023	0	PRIMA EMISSIONE	Ing. M. Moscoloni	Ing. M. Moscoloni	FLEGONE srl
===== REVISIONI =====					



**FLEGONE srl**

FLEGONE srl  
Via Monte Napoleone, 8  
20121 MILANO MI  
flegonesrl@pec.it

## INDICE

<b>1</b>	<b>Premessa .....</b>	<b>3</b>
<b>2</b>	<b>Normativa di riferimento .....</b>	<b>3</b>
<b>3</b>	<b>Termini e definizioni .....</b>	<b>5</b>
<b>4</b>	<b>Descrizione generale dell'impianto .....</b>	<b>6</b>
<b>5</b>	<b>Dati dell'impianto .....</b>	<b>9</b>
<b>6</b>	<b>Dimensionamento del sistema .....</b>	<b>10</b>
<b>7</b>	<b>Caratteristiche tecniche dei componenti.....</b>	<b>11</b>
7.1	Strutture di sostegno.....	12
7.1.1	<i>Caratteristiche tecniche .....</i>	<i>12</i>
7.2	Moduli fotovoltaici e principio di funzionamento .....	13
7.3	Inverter .....	17
7.4	Cabina di trasformazione .....	18
7.4.1	<i>Trasformatore AT/MT .....</i>	<i>19</i>
7.4.2	<i>Quadri AT e BT.....</i>	<i>20</i>
7.4.3	<i>Ausiliari.....</i>	<i>21</i>
7.4.4	<i>Impianto di terra .....</i>	<i>22</i>
7.5	Protezioni AT.....	22
<b>8</b>	<b>Cavidotti di collegamento.....</b>	<b>22</b>
<b>9</b>	<b>Dimensionamento e verifiche.....</b>	<b>23</b>
9.1	Prescrizioni generali per la porzione di impianto in media tensione .....	23
9.1.1	<i>Protezione dalle sovratensioni .....</i>	<i>24</i>
9.1.2	<i>Protezione contro i contatti diretti.....</i>	<i>24</i>
9.1.3	<i>Protezione delle condutture dai sovraccarichi.....</i>	<i>24</i>
9.1.4	<i>Protezione contro i contatti diretti e indiretti .....</i>	<i>25</i>
9.1.5	<i>Calcolo delle correnti di impiego.....</i>	<i>26</i>
9.1.6	<i>Calcolo della temperatura dei cavi .....</i>	<i>26</i>
9.1.7	<i>Cadute di tensione.....</i>	<i>27</i>
9.2	Fornitura della rete in Alta tensione .....	28
9.3	Trasformatori.....	29
9.3.1	<i>Fattori di correzione per trasformatori (EN 60909-0) .....</i>	<i>30</i>
9.3.2	<i>Fattore di correzione per trasformatori (EN 60909-0 par. 6.3.3).....</i>	<i>30</i>
9.4	Calcolo dei guasti.....	31

9.4.1	<i>Calcolo delle correnti massime di cortocircuito</i> .....	31
9.4.2	<i>Calcolo delle correnti minime di cortocircuito</i> .....	34
9.4.3	<i>Calcolo guasti bifase-neutro e bifase-terra</i> .....	35
9.4.4	<i>Scelta delle protezioni</i> .....	35
9.4.5	<i>Verifica della protezione a cortocircuito delle condutture</i> .....	35
9.5	Dati tecnici del cavo utilizzato .....	36
9.5.1	<i>Temperatura del terreno</i> .....	36
9.5.2	<i>Resistività termica del terreno</i> .....	36
<b>10</b>	<b>Cabina di raccolta</b> .....	<b>37</b>
10.1	Caratteristiche delle apparecchiature di media tensione .....	37
10.1.1	<i>Trasformatore MT/BT</i> .....	37
10.1.2	<i>Protezioni sezione 30 kV</i> .....	38
10.1.3	<i>Unità misura tensione sbarre (fase/massa): 30kV</i> .....	38
10.2	Sistema di protezione, monitoraggio, comando e controllo .....	39
10.3	Impianto di Terra .....	41
10.4	Impianto di Sicurezza.....	41
<b>11</b>	<b>Impianto di illuminazione</b> .....	<b>41</b>
<b>12</b>	<b>Elettrodotta di collegamento</b> .....	<b>42</b>
<b>13</b>	<b>Valutazione dei campi elettrici e magnetici</b> .....	<b>42</b>
<b>14</b>	<b>Inquinamento acustico</b> .....	<b>42</b>
<b>15</b>	<b>Allegati</b> .....	<b>43</b>

## 1 Premessa

Il progetto di cui fa parte integrante la presente relazione è finalizzato alla realizzazione di un parco fotovoltaico la cui ubicazione ricade nel Comune di Monreale nella provincia di Palermo, nelle località " Contrada Trenta e Contrada Ravanusa".

L'impianto, nel suo complesso, sarà caratterizzato dai seguenti parametri:

- Potenza al fine dell'immissione in rete: 40 MW;
- Potenza nominale del generatore: 40.824,00 kWp;

L'impianto è composto da 5 campi, di potenza rispettivamente pari a:

- campo 1: 7.348,32 kWp
- campo 2: 10.206,00 kWp
- campo 3: 7.348,32 kWp
- campo 4: 6.123,6 kWp
- campo 5: 9.797,60 kWp

Ciascun campo sarà composto da più generatori, come riportato di seguito e desumibile dalla tabella di riepilogo allegata alla presente relazione; i generatori saranno collegati in media tensione in configurazione entra-esce, con un massimo di 5 generatori per linea.

- Campo 1: 3 generatori;
- Campo 2: 4 generatori;
- Campo 3: 3 generatori;
- Campo 4: 3 generatori;
- Campo 5: 5 generatori..

All'interno dei vari campi verranno installate delle cabine verso cui confluiranno le linee in CA provenienti dagli inverter. All'interno delle stesse verranno installati i trasformatori BT/AT con potenza nominale pari a 1,25 MVA e 3,5 MVA, in funzione delle caratteristiche del generatore, i trasformatori di servizio ed i quadri elettrici BT ed AT.

Le linee provenienti dalle cabine installate nei 5 campi confluiranno verso la cabina generale del parco fotovoltaico posizionata ad ovest al margine del confine stradale.

Tale cabina verrà collegata in antenna a 36 kV con una nuova stazione elettrica di trasformazione (SE) a 220/36 kV della RTN, da inserire in entra - esce sulla linea RTN a 220 kV "Partinico - Partanna", di cui al Piano di Sviluppo Terna, attraverso un elettrodotto interrato AT della lunghezza di circa 9 Km.

La modalità di connessione sarà conforme alle indicazioni fornite da TERNA nella STMG fornita con preventivo cod. pratica 202200551, del 11/07/2022.

## 2 Normativa di riferimento

Nella redazione del progetto si è fatto riferimento alle seguenti norme:

- **CEI EN 61936-1:** Impianti elettrici con tensione superiore a 1 kV in c.a, prescrizioni comuni;

- **CEI EN 50522:** Messa a terra degli impianti elettrici a tensione superiore a 1 kV in c.a.;
- **CEI 99-4:** Guida per l'esecuzione di cabine elettriche MT/BT del cliente/utente finale;
- **CEI 64-8:** Impianti elettrici utilizzatori a tensione nominale non superiore a 1000 V in corrente alternata e a 1500 V in corrente continua;
- **CEI 11-20:** Impianti di produzione di energia elettrica e gruppi di continuità collegati a reti di I e II categoria;
- **CEI EN 60904-1:** Dispositivi fotovoltaici Parte 1: Misura delle caratteristiche fotovoltaiche corrente-tensione;
- **CEI EN 60904-2:** Dispositivi fotovoltaici - Parte 2: Prescrizione per i dispositivi fotovoltaici di riferimento;
- **CEI EN 60904-3:** Dispositivi fotovoltaici - Parte 3: Principi di misura per dispositivi solari fotovoltaici (FV) per uso terrestre, con spettro solare di riferimento;
- **CEI EN 60555-1:** Disturbi nelle reti di alimentazione prodotti da apparecchi elettrodomestici e da equipaggiamenti elettrici simili -Parte 1: Definizioni;
- **CEI EN 60439:** Apparecchiature assiemate di protezione e manovra per bassa tensione (quadri BT);
- **CEI EN 60445:** Principi base e di sicurezza per l'interfaccia uomo-macchina, marcatura e identificazione - Identificazione dei morsetti degli apparecchi, delle estremità dei conduttori e dei conduttori;
- **CEI EN 60529:** Gradi di protezione degli involucri (codice IP);
- **CEI EN 60099:** Scaricatori
- **CEI 20-19:** Cavi isolati con gomma con tensione nominale non superiore a 450/750 V;
- **CEI 20-20:** Cavi isolati con polivinilcloruro con tensione nominale non superiore a 450/750
- **CEI 81-10/1/2/3/4 :** Protezione contro i fulmini;
- **CEI 0-2:** Guida per la definizione della documentazione di progetto per impianti elettrici;
- **UNI 10349:** Riscaldamento e raffrescamento degli edifici. Dati climatici;
- **CEI EN 61724:** Rilievo delle prestazioni dei sistemi fotovoltaici. Linee guida per la misura, lo scambio e l'analisi dei dati;
- **IEC 60364-7-712:** Electrical installations of buildings - Part 7-712: Requirements for special installations or locations Solar photovoltaic (PV) power supply systems.
- **D. Lgs. 81/2008** Attuazione dell'articolo 1 della legge 3 agosto 2007, n. 123, in materia di tutela della salute e della sicurezza nei luoghi di lavoro
- **DM 37/2008** Regolamento concernente l'attuazione dell'articolo 11-quaterdecies, comma 13, lettera a) della legge n. 248 del 2 dicembre 2005.
- **CEI 0-16** Regola tecnica di riferimento per la connessione di utenti attivi e passivi alle reti AT e MT delle imprese distributrici di energia elettrica
- **CEI 82-25** Guida alla realizzazione di sistemi di generazione fotovoltaica e collegati alle reti elettriche di Media e Bassa Tensione
- **IEC 61727:** Photovoltaic (PV) systems - Characteristics of the utility interface;
- **CEI EN 61215-1:** Moduli fotovoltaici (FV) per applicazioni terrestri - Qualifica del progetto e omologazione del tipo Parte 1: Prescrizioni per le prove
- **CEI EN 61215-2:** Moduli fotovoltaici (FV) per applicazioni terrestri - Qualifica del progetto e omologazione del tipo Parte 2: Procedure di prova

- **CEI EN 61000-3-2:** Compatibilità elettromagnetica (EMC) Parte 3-2: Limiti - Limiti per le emissioni di corrente armonica (apparecchiature con corrente di ingresso  $\leq 16$  A per fase);
- **Allegato A alla deliberazione ARG/elt99/08** valido per le richieste di connessione presentate a partire dall'1 gennaio 2011 –Versione integrata e modificata dalle deliberazioni ARG/elt79/08, ARG/elt205/08, ARG/elt130/09, ARG/elt125/10, ARG/elt51/11, ARG/elt148/11, ARG/elt187/11, 226/2012/R/eel, 328/2012/R/eel, 578/2013/R/eel, 574/2014/R/eel, 400/2015/R/eel, 558/2015/R/eel, 424/2016/R /eel, 581/2017/R/eel, 564/2018/R/eel, 592/2018/R/eel Testo integrato delle condizioni tecniche ed economiche per la connessione alle reti con obbligo di connessioni di terzi degli impianti di produzione (testo integrato delle connessioni attive – TICA).
- **Codice di trasmissione, dispacciamento, sviluppo e sicurezza della rete - TERNA**

### 3 Termini e definizioni

- **Cella fotovoltaica:** dispositivo fotovoltaico fondamentale che provvede alla generazione di energia elettrica se esposto alla radiazione solare;
- **Modulo fotovoltaico:** insieme di celle fotovoltaiche interconnesse fra loro e assemblate in supporti idonei dalle case produttrici, protette dall'ambiente circostante attraverso opportuni involucri. Il modulo fotovoltaico, con le sue caratteristiche elettriche (tensione e corrente nominali), costituisce l'unità elementare per la progettazione elettrica dell'impianto fotovoltaico.
- **Stringa fotovoltaica** insieme di moduli fotovoltaici collegati in serie per raggiungere la tensione di uscita desiderata;
- **Generatore FV** insieme di stringhe fotovoltaiche collegate in parallelo per raggiungere la potenza desiderata;
- **Impianto fotovoltaico** impianto di produzione di energia elettrica mediante conversione diretta della luce, cioè della radiazione solare, in energia elettrica (effetto fotovoltaico); pertanto, esso rientra nella categoria degli impianti alimentati da fonti rinnovabili non programmabili (cioè la cui produzione di energia elettrica risulta aleatoria e in funzione del regime meteorologico istantaneo. L'impianto è essenzialmente costituito dal generatore fotovoltaico, dal gruppo di conversione e dal sistema di interfacciamento alla rete elettrica di distribuzione;
- **Inverter** dispositivo che provvede alla trasformazione dell'energia elettrica prodotta dal generatore fotovoltaico da corrente continua a corrente alternata;
- **Interfaccia rete** dispositivo che provvede all'interfacciamento dell'impianto fotovoltaico all'impianto elettrico dell'utilizzatore e, quindi, alla rete elettrica locale;
- **Potenza di picco  $W_p$**  potenza generata da un dispositivo fotovoltaico (modulo, stringa o generatore) misurata ai morsetti in corrente continua e rimostrata alle condizioni di prova standard (abbr. STC) che risultano le seguenti: Air Mass = 1.5, irraggiamento solare sul piano dei moduli pari a  $1 \text{ kW/m}^2$ , temperatura di lavoro della cella fotovoltaica pari a  $25^\circ\text{C}$ ;
- **Gestore della rete** è il soggetto che presta il servizio di distribuzione e vendita dell'energia elettrica ai clienti utilizzatori (es. AEM, ENEL, TERNA);
- **Cliente utilizzatore** è la persona fisica o giuridica titolare di un contratto di fornitura di energia elettrica.

#### 4 Descrizione generale dell'impianto

L'impianto nel suo complesso, procedendo dal punto di connessione verso il sito di produzione, sarà costituito dai seguenti componenti:

- Un collegamento elettrico del parco fotovoltaico alla rete di trasmissione di alta tensione (RTN) che avverrà tramite uno stallo dedicato presso la SE attraverso una linea in cavo AT a tensione pari a 36 kV dello sviluppo di circa 9 Km.  
All'arrivo alla SE TERNA verranno effettuate le misure fiscali in AT.
- Una cabina raccolta all'interno della quale verranno collocati i manufatti contenenti:
  - il trasformatore di servizio completo di protezioni lato AT e lato BT;
  - i quadri elettrici in CA relativi ai servizi ausiliari;
  - il raddrizzatore con relative batterie per l'alimentazione dei servizi ausiliari a 110 Vcc;
  - un gruppo di continuità;
  - un gruppo elettrogeno.

Nella stessa area saranno predisposti anche i locali per l'impianto di supervisione (SCADA), un ambiente da dedicare ad ufficio e dei locali di servizio.

- 5 linee interrate in AT di lunghezza compresa tra circa 280 m e circa 3 km, che metteranno in collegamento la cabina di raccolta con le cabine dei 5 campi, configurabili come delle sottostazioni preposte alla trasformazione della tensione in AT;
- Un parco fotovoltaico composto da 5 campi (1, 2, 3, 4, 5) con le seguenti componenti principali:

##### CAMPO 1 (GRID 1)

- 3 cabine di trasformazione "SC-x" collegate in entra-esce, dotate di:
  - a) quadri di parallelo inverter in corrente alternata ai quali confluiranno le uscite CA degli inverter dislocati nei sottocampi;
  - b) un numero di trasformatori AT/BT di potenza 3,0 MW come da tabella di riepilogo in allegato;
  - c) quadri AT a protezione del/dei trasformatori e delle linee in entra-esce;
  - d) un trasformatore AT/BT 36/0,4 kV per l'alimentazione dei servizi ausiliari;
  - e) servizi accessori.
- 36 inverter trifase, raggruppati in numero non superiore a 12, aventi la funzione di convertire l'energia elettrica prodotta dai moduli da corrente continua a corrente alternata. A ciascun inverter, la cui potenza nominale è pari a 200 kW, verranno attestate le linee in CC provenienti dalle rispettive stringhe;
- 11.664 moduli fotovoltaici del tipo monofacciali di potenza pari a 630 Wp, installati su strutture metalliche di sostegno, per una potenza complessiva pari a 7.348,32 kWp. I moduli saranno raggruppati in stringhe da 18.

##### CAMPO 2 (GRID 2)

- 4 cabine di trasformazione "SC-x" collegate in entra-esce, dotate di:
  - a) quadri di parallelo inverter in corrente alternata ai quali confluiranno le uscite CA degli inverter dislocati nei sottocampi;

- b) un numero di trasformatori AT/BT di potenza 3,0 – 3,5 MVA in funzione della potenza nominale lato CA dello stesso sottocampo come da tabella di riepilogo in allegato;
  - c) quadri AT a protezione del/dei trasformatori e delle linee in entra-esce;
  - d) un trasformatore AT/BT 36/0,4 kV per l'alimentazione dei servizi ausiliari;
  - e) servizi accessori.
- 50 inverter trifase, raggruppati in numero non superiore a 14, aventi la funzione di convertire l'energia elettrica prodotta dai moduli da corrente continua a corrente alternata. A ciascun inverter, la cui potenza nominale è pari a 200 kW, verranno attestate le linee in CC provenienti dalle rispettive stringhe;
  - 16.200 moduli fotovoltaici del tipo monofacciali di potenza pari a 630 Wp, installati su strutture metalliche di sostegno, per una potenza complessiva pari a 10.206,00 kWp. I moduli saranno raggruppati in stringhe da 18.

#### CAMPO 3 (GRID 3)

- 3 cabine di trasformazione "SC-x" collegate in entra-esce, dotate di:
  - a) quadri di parallelo inverter in corrente alternata ai quali confluiranno le uscite CA degli inverter dislocati nei sottocampi;
  - b) un numero di trasformatori AT/BT di potenza 3,0 MVA in funzione della potenza nominale lato CA dello stesso sottocampo come da tabella di riepilogo in allegato;
  - c) quadri AT a protezione del/dei trasformatori e delle linee in entra-esce;
  - d) un trasformatore AT/BT 36/0,4 kV per l'alimentazione dei servizi ausiliari;
  - e) servizi accessori.
- 36 inverter trifase, raggruppati in numero non superiore a 12, aventi la funzione di convertire l'energia elettrica prodotta dai moduli da corrente continua a corrente alternata. A ciascun inverter, la cui potenza nominale è pari a 200 kW, verranno attestate le linee in CC provenienti dalle rispettive stringhe;
- 11.664 moduli fotovoltaici del tipo monofacciali di potenza pari a 630 Wp, installati su strutture metalliche di sostegno, per una potenza complessiva pari a 7.348,32 kWp. I moduli saranno raggruppati in stringhe da 18.

#### • CAMPO 4 (GRID 4)

- 3 cabine di trasformazione "SC-x" collegate in entra-esce, dotate di:
  - a) quadri di parallelo inverter in corrente alternata ai quali confluiranno le uscite CA degli inverter dislocati nei sottocampi;
  - b) un numero di trasformatori AT/BT di potenza 1,6 – 3,0 MVA in funzione della potenza nominale lato CA dello stesso sottocampo come da 12+tabella di riepilogo in allegato;
  - c) quadri AT a protezione del/dei trasformatori e delle linee in entra-esce;
  - d) un trasformatore AT/BT 36/0,4 kV per l'alimentazione dei servizi ausiliari;
  - e) servizi accessori.

- 30 inverter trifase, raggruppati in numero non superiore a 12, aventi la funzione di convertire l'energia elettrica prodotta dai moduli da corrente continua a corrente alternata. A ciascun inverter, la cui potenza nominale è pari a 200 kW, verranno attestate le linee in CC provenienti dalle rispettive stringhe;
- 9.720 moduli fotovoltaici del tipo monofacciali di potenza pari a 630 Wp, installati su strutture metalliche di sostegno, per una potenza complessiva pari a 6.123,60 kWp. I moduli saranno raggruppati in stringhe da 18.
- CAMPO 5 (GRID 5)
- 5 cabine di trasformazione "SC-x" collegate in entra-esce, dotate di:
  - a) quadri di parallelo inverter in corrente alternata ai quali confluiranno le uscite CA degli inverter dislocati nei sottocampi;
  - b) un numero di trasformatori AT/BT di potenza 1,2 – 3,0 MVA in funzione della potenza nominale lato CA dello stesso sottocampo come da 12+tabella di riepilogo in allegato;
  - c) quadri AT a protezione del/dei trasformatori e delle linee in entra-esce;
  - d) un trasformatore AT/BT 36/0,4 kV per l'alimentazione dei servizi ausiliari;
  - e) servizi accessori.
- 48 inverter trifase, raggruppati in numero non superiore a 12, aventi la funzione di convertire l'energia elettrica prodotta dai moduli da corrente continua a corrente alternata. A ciascun inverter, la cui potenza nominale è pari a 200 kW, verranno attestate le linee in CC provenienti dalle rispettive stringhe;
- 15.552 moduli fotovoltaici del tipo monofacciali di potenza pari a 630 Wp, installati su strutture metalliche di sostegno, per una potenza complessiva pari a 9.797,76 kWp. I moduli saranno raggruppati in stringhe da 18.

L'impianto sarà completato da:

- Tutte le infrastrutture tecniche necessarie alla conversione CC/CA della potenza generata dall'impianto e dalla sua consegna alla rete di trasmissione nazionale;
- Opere accessorie, quali: impianti di illuminazione, videosorveglianza, antintrusione, telecontrollo.

L'impianto nel suo complesso sarà in grado di alimentare dalla rete tutti i carichi rilevanti (ad es: quadri di alimentazione servizi ausiliari, illuminazione, sala controllo ecc.).

Inoltre, in mancanza di alimentazione dalla rete, tutti i carichi di emergenza potranno essere alimentati da un generatore temporaneo diesel di emergenza e da un sistema di accumulo ad esso connesso.

## 5 Dati dell'impianto

Sintetizzando quanto in parte già esposto, il generatore fotovoltaico avrà una potenza nominale complessiva pari a 40.824,00 kWp, intesa come somma delle potenze nominali di ciascun modulo misurate in condizioni di prova standard (STC), ossia considerando un irraggiamento pari a 1000 W/m<sup>2</sup>, con distribuzione dello spettro solare di riferimento (massa d'aria AM 1,5) e temperatura delle celle di 25°C, secondo norme CEI EN 904/1-2-3.

Il generatore sarà composto complessivamente da 64.800 moduli fotovoltaici di potenza nominale pari a 630 Wp, collegati in serie tra loro in numero pari a 18 moduli in modo da formare gruppi di moduli denominati stringhe; le correnti provenienti da ciascuna stringa vengono raccolte complessivamente da 200 inverter modulari di potenza nominale AC pari a 200 kWp, distribuiti nei campi in posizione baricentrica rispetto alle stesse.

Nella seguenti tabelle si riporta la composizione dei 5 campi:

Area	Campo	Linea	DA	A	L [m]	Ltot [m]	Tipo cavo	Sezioni [mm <sup>2</sup> ]	Corrente Tratta [A]	Ptot [kVA]	Po-tenza Campo
A	1	1	Linea 1	SC1	280,17	1105,58	RG7H1R 26/45 kV	3x(1x70)	115,3	7186,8	7200
			SC1	SC2	816,71		RG7H1R 26/45 kV	3x(1x70)	76,8	4791,568	
			SC2	SC3	8,7		RG7H1R 26/45 kV	3x(1x70)	38,4	2395,784	
	2	2	Linea 2	SC6	971,56	1049,53	RG7H1R 26/45 kV	3x(1x70)	160,1	9982,4	10000
			SC6	SC5	28,49		RG7H1R 26/45 kV	3x(1x70)	115	7187,351	
			SC5	SC7	24,49		RG7H1R 26/45 kV	3x(1x70)	77	4791,568	
			SC7	SC4	24,99		RG7H1R 26/45 kV	3x(1x70)	38	2395,784	
	3	3	Linea 3	SC10	803,22	847,20	RG7H1R 26/45 kV	3x(1x70)	115,3	7186,8	7200
			SC10	SC09	19,99		RG7H1R 26/45 kV	3x(1x70)	76,80	4791,2	
			SC09	SC08	23,99		RG7H1R 26/45 kV	3x(1x70)	38,4	2395,8	
	4	4	Linea 4	SC12	2099,64	2389,51	RG7H1R 26/45 kV	3x(1x70)	96	5986,8	6000
			SC12	SC13	262,42		RG7H1R 26/45 kV	3x(1x70)	60,87	3791,2	
SC13			SC11	27,45	RG7H1R 26/45 kV		3x(1x70)	38,4	2395,6		
B	5	5	Linea 5	SC17	3033,74	3804,99	RG7H1R 26/45 kV	3x(1x70)	153,6	9578	9.600
			SC17	SC18	25,62		RG7H1R 26/45 kV	3x(1x70)	115,2	7183,381	
			SC18	SC14	696,54		RG7H1R 26/45 kV	3x(1x70)	99,2	6187,441	
			SC14	SC15	26,77		RG7H1R 26/45 kV	3x(1x70)	60,8	3791,665	
			SC15	SC16	22,32		RG7H1R 26/45 kV	3x(1x70)	22,4	1395,915	
SSE Monreale 3	AT	SE Terna	Cabina di Raccolta	9000,00	9000	RG7H1R 26/45 kV	3x(1x500)	640,3	39924,4	40000	

Tabella 1 Configurazione collegamenti elettrici

Area	Campo	Numero Pannelli	N Moduli per stringa	N Stringhe	Stringhe per Inverter	N Inverter	Tipo Inverter	P DC [kW]	P AC [kVA]
A	1	11664	18	648	18	36	HUAWEI SUN2000-215KTL-H1	7348320	7200
	2	16200	18	900	18	50	HUAWEI SUN2000-215KTL-H1	10206000	10000
	3	11644	18	648	18	36	HUAWEI SUN2000-215KTL-H1	7335720	7200
	4	9720	18	540	18	30	HUAWEI SUN2000-215KTL-H1	6123600	6000
B	5	15.552	18	864	18	48	HUAWEI SUN2000-215KTL-H1	9.797.760	9.600
	<b>Totale</b>	<b>64780</b>		<b>3600</b>		<b>200</b>		<b>40811400</b>	<b>40000</b>

Tabella 2 Configurazione campi

## RIEPILOGO

### 6 Dimensionamento del sistema

Il calcolo della producibilità è stato effettuato utilizzando il software di simulazione PVSYSY versione 7.3.3; in allegato si riporta il report di calcolo.

Il calcolo della tensione di output del pannello, della corrente e della relativa potenza di uscita, si effettua in condizioni di prova standard (STC), ossia considerando un irraggiamento pari a 1000 W/m<sup>2</sup>, con distribuzione dello spettro solare di riferimento (massa d'aria AM 1,5) e temperatura delle celle di 25°C, secondo norme CEI EN 904/1-2-3.

Le caratteristiche tensione-corrente per ogni modulo vengono considerate, in uscita dallo stesso, secondo l'efficienza del pannello, in condizioni standard, pari al 25 %.

Ogni stringa sarà caratterizzata da una tensione, variabile in funzione delle condizioni di irraggiamento.

La somma delle correnti di ciascuna stringa, collegate in parallelo in corrispondenza dell'inverter, determina il valore della potenza prodotta in quelle determinate condizioni.

Ai fini delle valutazioni di carattere energetico, alla potenza nominale dell'impianto vanno detratte le perdite di potenza presenti nell'impianto ed imputabili a vari fattori quali:

- Perdite per scostamento dalle condizioni STC
- Perdite dovute all'ombreggiamento dovuto alla natura orografica del paesaggio
- Perdite per riflessione
- Perdite per mismatch
- Perdite per caduta di tensione nei tratti in CC ed in CA
- Perdite dovute al rendimento dell'inverter
- Perdite nei trasformatori di tensione
- Perdite per sporcizia
- Perdite per calo di efficienza annuale
- Perdite per guasti impianto

Il dimensionamento della potenza di targa effettuato in STC normate da CEI EN 904/1-2-3 è necessario per poter uniformare la progettazione in relazione al fatto che l'effetto fotovoltaico, traduzione su materiali cristallini dell'effetto fotoelettrico, risente sostanzialmente delle variazioni di temperatura. In ultimo, il calcolo tiene in debita considerazione una stima del

degrado del pannello dovuto alla sedimentazione di polveri che concorrono mutualmente al decremento delle prestazioni in ragione non sono di una limitazione della superficie assorbente, ma anche, soprattutto, ad un innalzamento della temperatura.

Parallelamente esistono fattori di incremento dell'efficienza del modulo, come ad esempio l'albedo, ovvero la capacità del terreno di riflettere la radiazione solare, calcolato anch'esso in funzione della stazione meteorologica a cui si fa riferimento e le perdite di sistema.

Al fine di una corretta progettazione del sistema, sono stati rilevati i valori della radiazione solare riferiti al piano orizzontale nel territorio del Comune di Assoro (EN).

Il valore della radiazione solare sul piano dei moduli è stato calcolato con il metodo indicato nella norma UNI 8477/1 considerata l'inclinazione dei moduli a 20°

Balances and main results

	<b>GlobHor</b> kWh/m <sup>2</sup>	<b>DiffHor</b> kWh/m <sup>2</sup>	<b>T_Amb</b> °C	<b>GlobInc</b> kWh/m <sup>2</sup>	<b>GlobEff</b> kWh/m <sup>2</sup>	<b>EArray</b> kWh	<b>E_Grid</b> kWh	<b>PR</b> ratio
<b>January</b>	70.6	34.82	10.23	109.3	95.7	3400160	3358793	0.753
<b>February</b>	78.1	40.23	8.29	107.0	97.9	3707188	3659919	0.838
<b>March</b>	119.1	58.49	11.55	142.1	132.8	5068066	5007273	0.863
<b>April</b>	175.5	61.05	15.59	190.1	178.8	6648035	6561459	0.846
<b>May</b>	223.5	67.00	17.77	217.9	204.5	7523838	7436391	0.836
<b>June</b>	228.2	64.21	25.16	211.0	197.7	7104807	7008144	0.814
<b>July</b>	251.5	58.93	26.37	237.5	223.3	7967448	7871910	0.812
<b>August</b>	227.5	53.69	25.86	237.3	224.1	8030586	7938429	0.819
<b>September</b>	139.7	55.72	20.28	162.7	152.7	5661096	5588322	0.842
<b>October</b>	122.8	46.32	17.33	168.5	158.0	5905514	5837353	0.848
<b>November</b>	79.4	34.28	14.46	123.0	110.2	3922888	3875437	0.772
<b>December</b>	66.0	31.12	9.53	110.1	93.6	3310003	3269038	0.727
<b>Year</b>	1782.0	605.87	16.92	2016.5	1869.2	68249628	67412469	0.819

Tabella 3 Irraggiamento del sito

Di seguito si riporta la tabella, estrapolata dal report, con i valori medi dell'insolazione mensile e annuale in loco.

Legenda:

- GlobHor Radiazione orizzontale globale
- DiffHor Radiazione orizzontale diffusa
- T\_Amb Temperatura ambiente
- GlobInc Radiazione aereo incidente globale
- GlobEff Efficace radiazione globale (considerando IAM e le ombre)
- EArray Efficace energia in uscita sul campo
- E\_Grid Energia iniettata nella rete
- PR Rapporto di prestazione

La tabella mostra che l'energia solare raccolta in media dal piano incidente dei moduli fotovoltaici è di 1782,0 kWh/m<sup>2</sup> anno.

## 7 Caratteristiche tecniche dei componenti

Di seguito verranno illustrate le caratteristiche principali dei componenti procedendo dalla produzione in CC verso la RTN.

Le caratteristiche dell'impianto, nonché di tutte le componenti dello stesso, dovranno essere in accordo con le norme di legge e di regolamento vigenti ed in particolare essere conformi:

- Alle prescrizioni di autorità locali, comprese quelle dei VV.F.;
- Alle prescrizioni ed indicazioni delle Società Distributrice di energia elettrica;
- Alle norme CEI (Comitato Elettrotecnico Italiano).

Gli impianti devono essere realizzati a regola d'arte, come prescritto dalla Legge n. 186 del 1° marzo 1968 e come prescritto dal DM 37/08. Rimane tuttora valido, sotto il profilo generale, quanto prescritto dal DPR 547/55 "Norme per la prevenzione degli infortuni sul lavoro" ed il successivo D. Lgs. 81/08 con relativi aggiornamenti e circolari di riferimento.

## 7.1 Strutture di sostegno

Le strutture di sostegno, saranno fisse, in acciaio zincato così da garantire una vita utile di gran lunga superiore ai 20 anni, tempo di vita minimo stimato per l'impianto di produzione. Le stesse saranno ancorate al terreno mediante pali infissi e/o trivellati.

Coerentemente con la definizione delle stringhe, le strutture di supporto sono state progettate in modo tale da garantire l'installazione dei moduli appartenenti ad una stringa tutti sulla stessa struttura, al fine di facilitare le operazioni di installazione e di manutenzione ordinaria.

### 7.1.1 Caratteristiche tecniche

Le strutture di sostegno del tipo fisso, saranno in acciaio zincato così da garantire una vita utile di gran lunga superiore ai 20 anni, tempo di vita minimo stimato per l'impianto di produzione. Le stesse saranno ancorate al terreno mediante pali infissi e/o trivellati.

Coerentemente con la definizione delle stringhe, le strutture di supporto sono state progettate in modo tale da garantire l'installazione dei moduli appartenenti ad una stringa tutti sulla stessa struttura, al fine di facilitare le operazioni di installazione e di manutenzione ordinaria.

La struttura, del tipo fisso, alloggerà due file distinte di pannelli delle dimensioni di 1,134 x 2,465 m ciascuno, i profili di supporto avranno dimensioni fuori tutto pari a 4,36 x 13,07 m. La spaziatura delle unità di supporto e la relativa altezza del punto inferiore dal terreno sono pari a 3,70 m e a 1,30 m, l'inclinazione rispetto al piano di campagna  $30 \pm 2^\circ$ . Si riportano nel dettaglio i prospetti laterale e frontale.

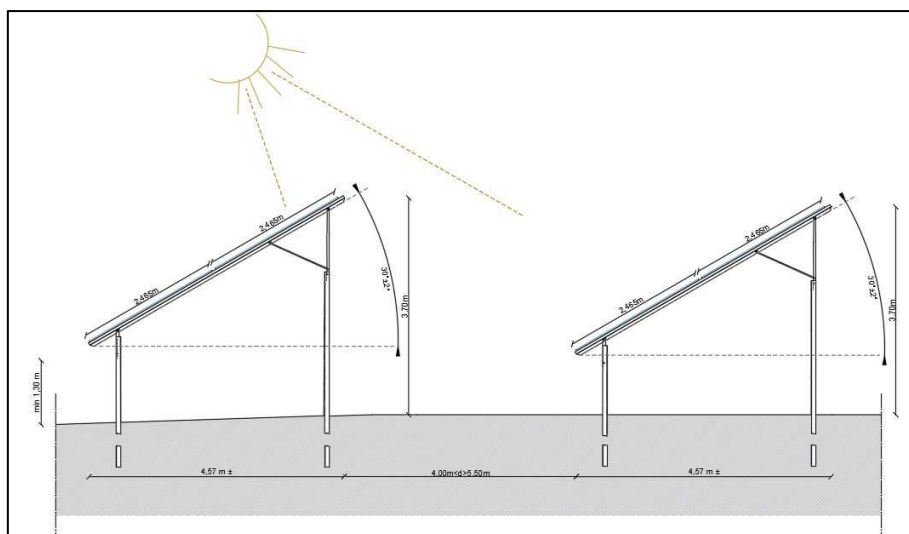


Figure 1 Prospetto laterale frame's layout

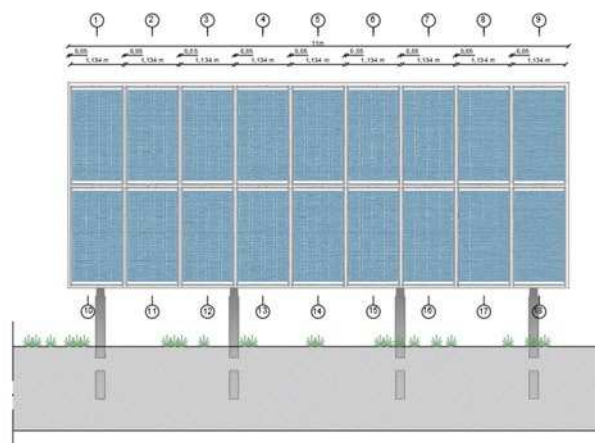


Figure 2 Prospetto frontale frame's layout tipo 1

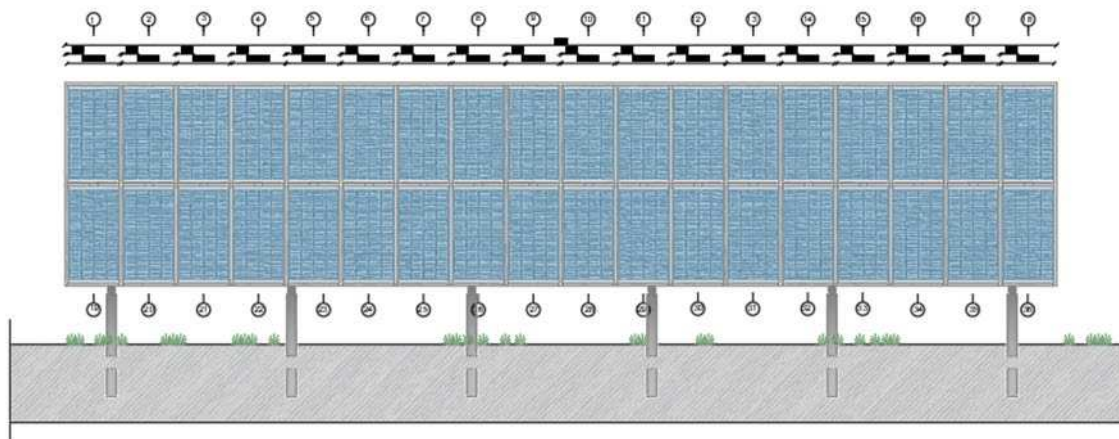


Figure 3 Prospetto frontale frame's layout tipo 2

L'ancoraggio al terreno mediante pali infissi, o eventualmente alloggiati mediante trivellazione, vedrà una profondità congrua atta a garantirne la sicurezza e la stabilità. La profondità di infissione, in ogni caso sarà compresa tra i pilastri di sostegno sono immorsati nel terreno ad una profondità variabile tra i 3,0 m e i 5,0 m in funzione delle caratteristiche meccaniche e litostratigrafiche dei terreni di fondazione.

## 7.2 Moduli fotovoltaici e principio di funzionamento

In un impianto fotovoltaico la produzione di energia elettrica è affidata alla cella fotovoltaica, elemento base costituente l'impianto, la quale sfruttando appunto l'effetto fotovoltaico (fenomeno tipico dei materiali semiconduttori sottoposti alla sollecitazione fotoelettrica), produce energia elettrica trasformandola a partire dalla radiazione solare incidente. In sintesi, si ottiene energia elettrica grazie alla differenza di potenziale che si crea al passaggio di un elettrone da una banda di valenza a quella di conduzione a causa dell'assorbimento di un fotone.

Nei moduli fotovoltaici, quest'effetto è ottenuto mediante l'eccitazione degli elettroni di un materiale cristallino, in generale silicio, tramite assorbimento della radiazione solare. Si

produce quindi una differenza di potenziale che viene sfruttata per produrre corrente. Questo effetto è descritto adeguatamente dall'equazione del diodo ideale di Shockley.

$$I = I_S - I_o \left( e^{\frac{qv_o}{\eta kT}} - 1 \right) \frac{V_o}{R_p}$$

Si riporta di seguito la caratteristica tensione-corrente di una cella fotovoltaica.

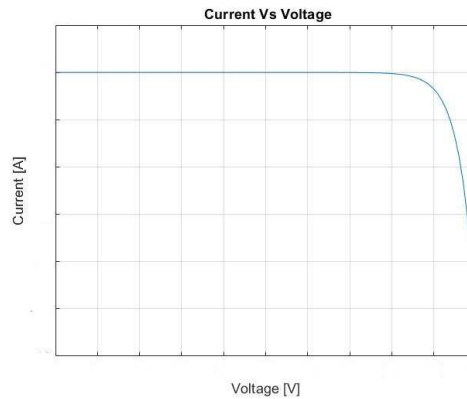


Figure 4 Caratteristica tensione-corrente

Dall'esame della curva, si nota immediatamente come esista un valore di tensione che determina un cedimento della corrente e quindi della tensione, questo effetto, noto come tensione di breakdown è determinato da due effetti chiamati *effetto tunnel* e *moltiplicazione a valanga*, la trattazione di questi due argomenti tuttavia esula dallo scopo del presente elaborato. Questo effetto però è di estrema rilevanza nella pratica perché determina un grosso limite nell'ottimizzazione della massima potenza estraibile da una cella fotovoltaica. Al fine di gestire tale fenomeno sono stati progettati dei controllori che determinano un'azione tesa alla massima estrazione di potenza e condotta da parte degli inverter.

Dopo opportune valutazioni di carattere tecnico – economico, finalizzate a ottenere la miglior performance senza un eccessivo impiego di risorse economiche, è stato individuato il pannello fotovoltaico monocristallino monofacciale a 156 celle, della taglia di 630 Wp, prodotto da Jinko Solar, modello JKM630N-78HL4-BDV.

Il numero di moduli che compongono una stringa è variabile tra 23 e 24.

Il range di tensioni delle stringhe risulta compatibile con quello di funzionamento degli inverter, infatti se consideriamo la dipendenza della tensione della cella dalla temperatura, ovvero:

$$V = V_{ref} + \gamma_V (T - T_{ref})$$

In cui:

- V: tensione di output [V]
- Vref: tensione di riferimento in STC;
- $\gamma_V$ : coefficiente di temperatura per la tensione [mV/K];
- T: temperatura operativa;
- Tref: temperatura di riferimento in STC.

Come indicato nell'equazione precedente, la tensione di output della cella diminuisce all'aumentare della temperatura.

Di seguito sono riportati i data sheet ed i disegni di dettaglio del modulo fotovoltaico selezionato.

Module Type	Jinko SOLAR JKM630N-78HL4	
	STC	NOCT
Maximum Power [Wp] (Pmax)	630	462
Maximum Power Voltage [V]	46,20	42,39
Maximum Power Current [A]	13,69	10,91
Open-Circuit Voltage [V] (VOC)	55,85	52,62
Short-Circuit Current [A] (ISC)	14,39	11,45
Module Efficiency STC [%]	22,54	
Operating Temperature [°C]	[-40; +85]	
Maximum System Voltage	1500VDC (IEC)	
Maximum Series Fuse Rating [A]	25A	
Power Tolerance [%]	[0; 3]	
Temperature Coefficient of Pmax	-0.29 %/C	
Temperature Coefficient of VOC	-0.25 %/C	
Temperature Coefficient of ISC	0.045 %/C	
Nominal Operating Cell Temperature (NOCT)	45±2°C	

Tabella 4 Datasheet pannello1

Mechanical Characteristics	
Cell Type	Monocrystalline
No. of cells	156
Dimensions	2465x1134x35mm
Weight	30,6 kg
Front Glass	3,2 mm, Anti-Reflection Coating
Frame	35 mm Anodized Aluminium Alloy
Junction Box	Ip68 Rated
Output Cables	TUV 1x 4.0 mm <sup>2</sup> Lunghezza (+)400; (-)200 mm or customized length

Tabella 5 datasheet pannello 2

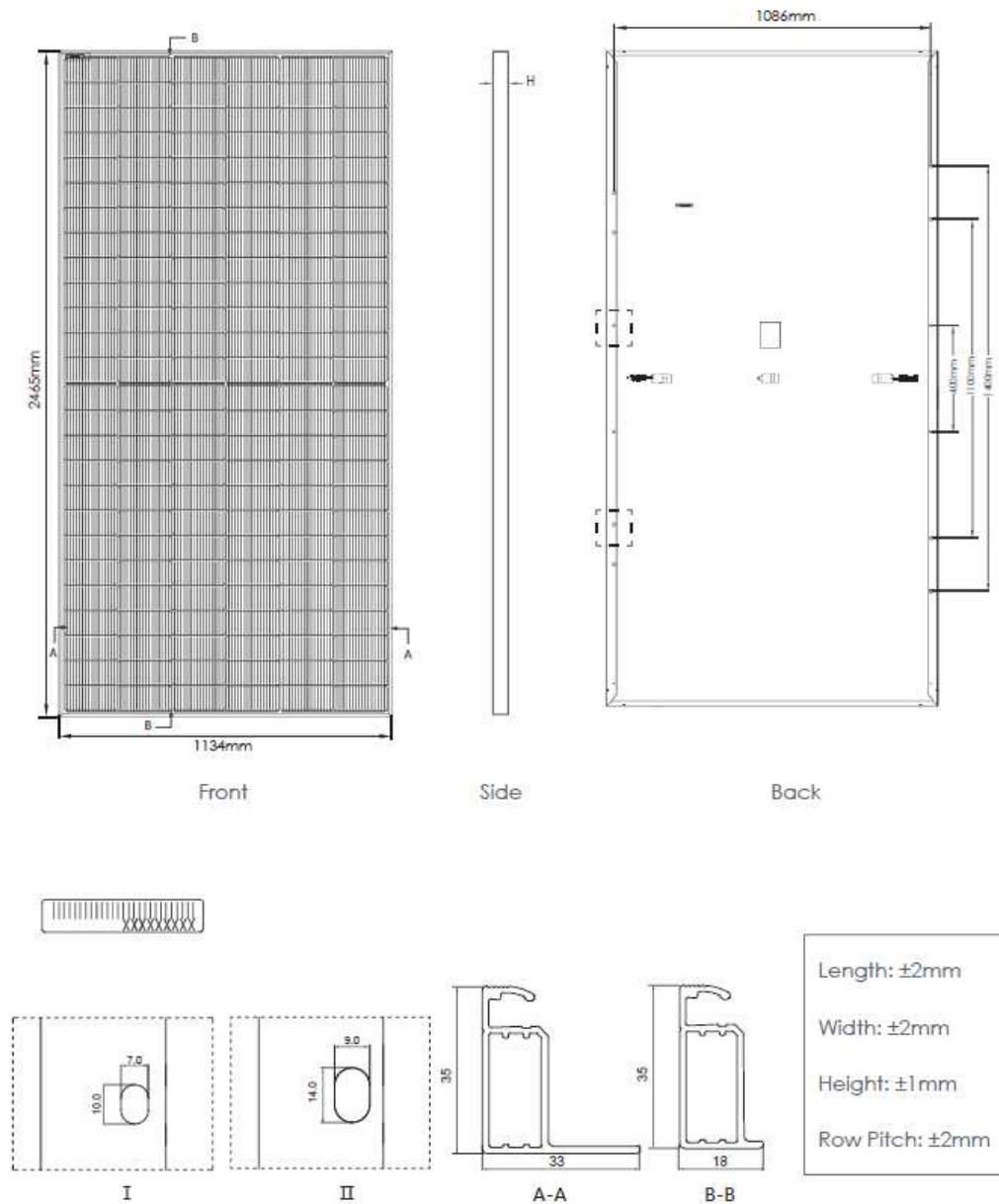


Figure 5 Dettaglio del Pannello Fotovoltaico (Vista frontale, posteriore e dimensioni)

I pannelli utilizzati saranno a basso indice di riflettanza al fine di minimizzare il fenomeno dell'abbagliamento. Nello specifico secondo quanto dichiarato dalla casa produttrice questo può quantificarsi nel  $6 \sim 6,5\%$ .

Pertanto, può affermarsi che il fenomeno dell'abbagliamento visivo dovuto a moduli fotovoltaici nelle ore diurne a scapito dell'ambiente circostante è da ritenersi influente nel computo degli impatti.

In un grande campo fotovoltaico, più moduli solari sono collegati in serie in una stringa per aumentare la tensione fino a livelli adeguati all'inverter. Più stringhe di moduli solari vengono quindi combinate insieme in parallelo per moltiplicare le correnti di uscita delle stringhe a livelli più alti per l'ingresso nell'inverter.

### 7.3 Inverter

Come noto, l'inverter ha la funzione di convertire l'energia elettrica prodotta dal campo fotovoltaico da corrente continua (CC) a corrente alternata (CA).

Avendo adottato una configurazione ad inverter distribuiti, il parco fotovoltaico sarà caratterizzato dalla presenza di 200 inverter opportunamente posizionati al fine di contenere la lunghezza dei collegamenti in CC (cavi di stringa).

L'inverter selezionato, denominato SUN2000-215KTL-H1 è prodotto da HUAWEI; ed ha le seguenti caratteristiche.



*Figure 6 Inverter Sun 2000-215KTL-H1*

Efficiency	
Max. Efficiency	99.00%
European Efficiency	98.60%
Input	
Max. Input Voltage	1,500 V
Max. Current per MPPT	30 A
Max. Short Circuit Current per MPPT	50 A
Start Voltage	550 V
MPPT Operating Voltage Range	500 V ~ 1,500 V
Nominal Input Voltage	1,080 V
Number of Inputs	18
Number of MPP Trackers	9
Output	
Nominal AC Active Power	200,000 W
Max. AC Apparent Power	215,000 VA
Max. AC Active Power (cosφ=1)	215,000 W
Nominal Output Voltage	800 V, 3W + PE
Rated AC Grid Frequency	50 Hz / 60 Hz
Nominal Output Current	144.4 A
Max. Output Current	155.2 A
Adjustable Power Factor Range	0.8 LG ... 0.8 LD
Max. Total Harmonic Distortion	< 3%
Protection	
Input-side Disconnection Device	Yes
Anti-islanding Protection	Yes
AC Overcurrent Protection	Yes
DC Reverse-polarity Protection	Yes
PV-array String Fault Monitoring	Yes
DC Surge Arrester	Type II
AC Surge Arrester	Type II
DC Insulation Resistance Detection	Yes
Residual Current Monitoring Unit	Yes
Communication	
Display	LED Indicators, WLAN + APP
USB	Yes
MBUS	Yes
RS485	Yes
General	
Dimensions (W x H x D)	1,035 x 700 x 365 mm (40.7 x 27.6 x 14.4 inch)
Weight (with mounting plate)	≤86 kg (189.6 lb.)
Operating Temperature Range	-25°C ~ 60°C (-13°F ~ 140°F)
Cooling Method	Smart Air Cooling
Max. Operating Altitude without Derating	4,000 m (13,123 ft.)
Relative Humidity	0 ~ 100%
DC Connector	Staubli MC4 EVO2
AC Connector	Waterproof Connector + OT/DT Terminal
Protection Degree	IP66
Topology	Transformerless

Tabella 6 Datasheet Inverter

## 7.4 Cabina di trasformazione

Gli inverter verranno collegati ai quadri di parallelo CA collocati all'interno delle cabine di sottocampo.

Tali cabine avranno la funzione di elevare la tensione da 800 V (BT) a 36 kV (AT).

I trasformatori collocati all'interno delle cabine avranno potenza nominale pari a 3,5 – 1,6 MVA come da tabella di riepilogo allegata.

Ciacuna cabina sarà allestita con i seguenti componenti:

– Quadri di parallelo CA

Ogni quadro sarà dotato dei dispositivi di manovra e protezione delle linee in CA provenienti dagli inverter; il quadro consentirà il sezionamento delle singole sezioni di impianto afferenti al trasformatore e le necessarie protezioni alle linee elettriche.

La linea in uscita dal quadro di parallelo, opportunamente protetta, verrà attestata all'avvolgimento secondario del trasformatore MT/BT.

Il quadro di parallelo alimenterà altresì un trasformatore di servizio BT/BT dedicato ai servizi ausiliari di cabina.

– Trasformatore di media tensione

Il trasformatore sarà dotato di un doppio avvolgimento a secondario. Appositamente ottimizzato per il funzionamento con inverter fotovoltaici, garantisce un collegamento affidabile ed efficiente alla rete di media tensione. Le caratteristiche costruttive dovranno renderlo resistente alle elevate temperature e alle condizioni meteorologiche avverse. Dovrà inoltre essere affidabile, ecologico ed efficiente

– Quadri MT per configurazione entra-esce

I quadri avranno la funzione di sezionare e proteggere il trasformatore e le linee in media tensione collegate in entra-esce.

I quadri, dotati di motorizzazione, saranno isolati con gas SF6, a prova di arco, esenti da manutenzione e adatto a qualsiasi clima.

Ogni cabina sarà dotata di impianto elettrico per l'alimentazione dei servizi ausiliari completo di quadro elettrico, di illuminazione, di prese elettriche di servizio, di sistema di estrazione aria, dell'impianto di messa a terra adeguatamente dimensionato e quanto altro necessario al perfetto funzionamento dell'impianto.

La sezione in CA per gli ausiliari sarà alimentata mediante un trasformatore AT/BT di potenza adeguata.

Saranno inoltre presenti le protezioni di sicurezza, il sistema centralizzato di comunicazione con interfacce in rame e fibra ottica.

#### 7.4.1 Trasformatore AT/MT

Di seguito si riportano le caratteristiche principali che dovranno avere i trasformatori:

Dato	Valore
Frequenza nominale	50 Hz
Gruppo vettoriale	Dyn11
Altitudine del sito di installazione	Fino a 1000 m slm
Vita media	> 25 anni
Max. squilibrio di potenza	Fino al 100%
Tensione di corto circuito	6%
Tensione nominale di resistenza CA a sorgente separata a breve durata (rms) BT / AT	In conformità alla specifica Terna

Tensione nominale di tenuta all'impulso (valore di picco) MT	In conformità alla specifica Terna
<b>LATO ALTA TENSIONE</b>	
Tensione nominale / Tensione operativa	36 kV /...
Regolazioni AT (commutatore sotto carico)	-5%, -2,5%, 0%, 2,5%, 5%
<b>LATO A BASSA TENSIONE 1-2</b>	
Temperature ambiente	-15 ° C fino a + 40 ° C
Temperatura a vuoto	-15 ° C fino a + 60 ° C
Resistività alla corrosione (secondo ISO12944)	C4-H
Colore	RAL 7035 o standard del fornitore
Termometro	1 x Pt100 nell'olio
Protezione	Scarico di gas, pressione eccessiva, temperatura e riempimento livello
Accessori inclusi	Schermo elettrostatico tra BT ed avvolgimenti MT
Posizioni delle boccole	sui lati corti opposti del trasformatore
Connessioni e scatola di connessione lato HV	Collegamento plug-in, acc. Per Standard IEC 60076
Connessioni e scatola di connessione Lati LV	Boccole in porcellana sec. secondo IEC60076, dimensioni della scatola e distanze delle boccole per essere idoneo a collegare fino a 8 cavi unipolari da 240 - 400mm <sup>2</sup> per fase
Valvola di sovrappressione	Valvola e tubazioni verso il basso nella vasca dell'olio
Valvola per il prelievo di campioni d'olio	Valvola bloccabile
Golfari di sollevamento del trasformatore e del vaso del trasformatore	Progettato solo per il trasformatore pieno
Targhetta	Secondo le norme IEC
Peso dell'olio (3,6 MVA)	1800 kg
Trasformatore a tutto peso	6280 kg

#### 7.4.2 Quadri AT e BT

I quadri AT sono del tipo assemblato in fabbrica, privi di manutenzione con sistema a barra singola, a tre poli, blindati in metallo e isolati in gas. I quadri sono conformi alle disposizioni della norma IEC 62271-200.

La capsula è classificata secondo IEC come sistema a tenuta ermetica.

I singoli pannelli e blocchi di pannelli sono costituiti dai seguenti componenti funzionali:

- Telaio di base con fronte operativo uniforme ricoperto di lamiera d'acciaio
- Carpenteria per l'alloggio dei dispositivi di commutazione e del sistema di sbarre
- Vano cavi

L'involucro è in acciaio inossidabile resistente alla corrosione ed è riempito con esafluoruro di zolfo (SF<sub>6</sub>) in fabbrica. Questo gas è atossico, chimicamente inerte e presenta un'elevata rigidità dielettrica.

Le pareti e le boccole per i collegamenti elettrici e i meccanismi operativi sono uniti mediante moderne procedure di saldatura, formando così un sistema di pressione sigillato.

I dispositivi di commutazione e le sbarre situate nella camera del quadro sono protetti da agenti esterni quali umidità, inquinamento, polvere, gas aggressivi e piccoli animali.

Per monitorare la densità del gas, è presente un indicatore pronto per l'uso sul fronte operativo.

Il sistema di sbarre è tripolare.

Non è richiesto alcun intervento sul gas per il montaggio o per eventuali successive estensioni del quadro.

### **7.4.3 Ausiliari**

Le stazioni di conversione sono corredate di piranometri e stazioni meteo. I dati raccolti da tali dispositivi, unitamente ai parametri rilevati dagli string box, vengono convogliati al sistema di supervisione.

#### **7.4.3.1 Stazione meteo**

È prevista una stazione meteorologica, in posizione baricentrica, composta dai seguenti sensori:

- Barometro (pressione atmosferica)
- Termometro (temperatura ambiente)
- Igrometro (umidità)
- Pluviometro
- Anemometro (forza e direzione del vento)

La stazione meteorologica è montata direttamente nella cabina dell'unità di conversione (per offrire la migliore protezione contro le sovratensioni). I sensori non devono trovarsi a più di 100 metri dalla stazione.

#### **7.4.3.2 Piranometro**

Nel settore dell'energia solare, i piranometri vengono utilizzati per monitorare le prestazioni delle centrali fotovoltaiche (FV).

Confrontando la potenza effettiva prodotta dalla centrale fotovoltaica con la potenza prevista sulla base di un piranometro che legge l'efficienza della centrale fotovoltaica può essere determinata. Il calo di efficienza può indicare la necessità di manutenzione dell'impianto fotovoltaico. Con rispetto al "celle di riferimento" (L'altro metodo ora per calcolare le prestazioni dell'impianto fotovoltaico utilizzando come riferimento uno strumento che ha proprietà simili ai pannelli fotovoltaici, ma anche se correttamente calibrato, avrà gli stessi difetti di temperatura, spettro e degrado) l'uso di il piranometro offre i seguenti vantaggi:

- Il piranometro fornisce una lettura indipendente e accurata della radiazione solare disponibile totale
- I piranometri sono classificati e calibrati secondo gli standard ISO
- Il tempo di risposta del piranometro è più lungo di una cella fotovoltaica
- Il piranometro è indipendente dal tipo di cella fotovoltaica
- Un piranometro può avere un coefficiente di temperatura molto piccolo
- Le celle fotovoltaiche sono specificate in STC (condizioni di prova standard)
- Le celle di riferimento (e i pannelli fotovoltaici) soffrono maggiormente dell'inquinamento rispetto ai piranometri

- I calcoli del rapporto di prestazione o dell'indice di prestazione sono più accurati usando un piranometro. Per il motivo sopra riportato, la stazione meteorologica fornita è dotata di un sensore piranometrico.

#### 7.4.4 Impianto di terra

L'impianto di messa a terra sarà realizzato mediante la posa di dispersori di terra del tipo a croce in acciaio zincato, infissi verticalmente nel terreno. I dispersori saranno fra di loro interconnessi tramite corda in rame nudo di sezione opportuna, posata ad intimo contatto con il terreno, e disposta ad anello attorno al perimetro dei basamenti in calcestruzzo.

#### 7.5 Protezioni AT

Le cabine saranno dotate delle seguenti apparecchiature elettromeccaniche:

- protezioni di linea
- protezioni trasformatori
- scaricatori
- scomparto di misure

Ogni cabina sarà dotata di impianto elettrico per l'alimentazione dei servizi ausiliari completo di quadro elettrico, di illuminazione, di prese elettriche di servizio, di sistema di estrazione aria, dell'impianto di messa a terra adeguatamente dimensionato e quanto altro necessario al perfetto funzionamento dell'impianto.

La sezione in CA sarà alimentata mediante un trasformatore AT/BT in resina di potenza pari a 100 kVA.

Saranno inoltre presenti le protezioni di sicurezza, il sistema centralizzato di comunicazione con interfacce in rame e fibra ottica.

### 8 Cavidotti di collegamento

Le cabine saranno collegate attraverso delle linee AT in cavo interrato secondo quanto rappresentato negli elaborati grafici progettuali e nei calcoli di dimensionamento, i cui risultati sono sintetizzati nella tabella di riepilogo allegata.

I conduttori verranno posati direttamente interrati, ad una profondità minima rispetto al piano stradale di 120 cm dalla generatrice superiore del conduttore.

Per annullare gli effetti dovuti alla mutua induzione, i cavi unipolari verranno posati in formazione a trifoglio, come rappresentato nei particolari costruttivi allegati. Al fine di garantire la condizione di posa, verranno applicate delle fasce di contenimento a distanza regolare.

Di seguito si porta un tipologico di sezione di scavo rinviando all'elaborato specifico per ulteriori dettagli.

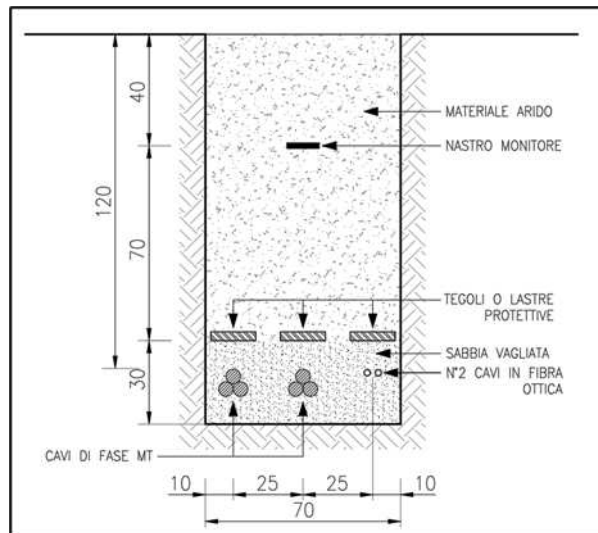


Figure 7 Tipico cavidotto su sterrato

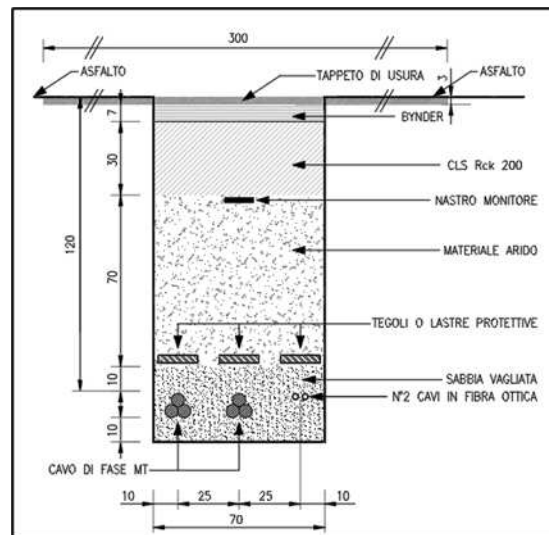


Figure 8 Tipico cavidotto su strada asfaltata

## 9 Dimensionamento e verifiche

Nel seguente paragrafo verranno illustrati i criteri adottati per il dimensionamento di massima dei conduttori.

### 9.1 Prescrizioni generali per la porzione di impianto in media tensione

Il livello di isolamento è stato scelto in accordo con la tensione nominale pari a 36 kV.

Le apparecchiature di interruzione o di sezionamento (compresi i sezionatori di terra) devono essere dotate di indicatori della posizione dei contatti. L'indicatore della posizione non deve dar adito ad ambiguità dell'effettiva posizione dei contatti primari del componente.

Il dispositivo indicatore della posizione di aperto/chiuso deve essere facilmente visibile dall'operatore.

I sezionatori e i sezionatori di terra devono essere installati in modo tale da non essere messi in funzione da una tensione o pressione manuali esercitate inavvertitamente sui leverismi di comando.

È comunque previsto un sistema di interblocchi, meccanici ed elettrici (interfacciati con lo SCADA) atti a prevenire errori di manovra.

### 9.1.1 Protezione dalle sovratensioni

Verranno installate delle protezioni dalle sovratensioni, sia in media tensione che in alta tensione secondo quanto riportato sugli schemi elettrici allegati.

### 9.1.2 Protezione contro i contatti diretti

Gli impianti dovranno essere costruiti in modo da evitare il contatto non intenzionale con parti attive o il raggiungimento di zone pericolose prossime alle parti attive.

Si dovranno proteggere le parti attive, quelle con il solo isolamento funzionale, e le parti che possono portarsi a potenziale pericoloso.

### 9.1.3 Protezione delle condutture dai sovraccarichi

Le caratteristiche ed i valori di taratura degli interruttori saranno tali da garantire la protezione delle linee contro i sovraccarichi in modo da soddisfare le relazioni:

$$I_b \leq I_n \leq I_z$$

$$I_f \leq 1,45 \cdot I_z$$

La protezione dai cortocircuiti è garantita se l'energia specifica, lasciata passare dall'interruttore durante il suo intervento, non supera quella sopportabile dal cavo.

Deve quindi essere soddisfatta la relazione:

$$I^2 \cdot t = K^2 \cdot S^2$$

dove:

- $I^2 \cdot t$  = Energia specifica lasciata passare dall'interruttore durante il cortocircuito;
- $K^2 \cdot S^2$  = Coefficiente dipendente dal tipo di conduttore e dal suo isolamento;
- $S$  = Sezione del conduttore da proteggere, in mm<sup>2</sup>;
- $t$  = Tempo di intervento del dispositivo di protezione che si assume 5 secondi.

Per una durata del cortocircuito pari a 5 secondi, si ha:

- $K = 115$  per cavi in Cu isolati in PVC
- $K = 135$  per cavi in Cu isolati in gomma butilica
- $K = 146$  per cavi in Cu isolati in gomma etilenpropilenica.

La relazione precedente deve essere soddisfatta qualunque sia il punto della conduttura interessato al cortocircuito.

In pratica è sufficiente la verifica immediatamente a valle degli organi di protezione, dove si ha la corrente di cortocircuito massima e nel punto terminale del circuito dove si ha la corrente di cortocircuito minima.

Questa seconda verifica è necessaria per verificare che la lunghezza del conduttore permetta, in caso di guasto, lo stabilirsi di una corrente di cortocircuito sufficiente a fare intervenire lo sganciatore elettromagnetico dell'interruttore.

La corrente di cortocircuito minima è calcolabile mediante la formula semplificata:

$$I_{cc} = \frac{0,8 \cdot V \cdot S}{2 \cdot r \cdot L}$$

Ponendo  $I_{cc}$  eguale al valore di taratura  $I_m$  dello sganciatore magnetico e ricavando  $L$  si ottiene la lunghezza massima di cavo protetta dall'interruttore scelto.

$$L_{\max} = \frac{0,8 \cdot V \cdot S}{2 \cdot r \cdot I_m}$$

dove:

- $V$  è la tensione nominale in Volt;
- 0,8 è un fattore che tiene conto dell'abbassamento di  $V$  durante il cortocircuito;
- $S$  è la sezione del conduttore in  $\text{mm}^2$ ;
- $r$  è la resistività del conduttore alla temperatura media del cortocircuito, assunta pari a  $0,027 [\Omega \cdot \text{mm}^2/\text{m}]$  per il rame;
- 2 è un fattore che tiene conto che la corrente di cortocircuito interessa un conduttore di lunghezza  $2L$ ;
- $I_m$  è la corrente di cortocircuito minima che provoca l'apertura dell'interruttore.

Le norme prevedono una tolleranza del 20% sul valore reale di  $I_m$ .

#### 9.1.4 Protezione contro i contatti diretti e indiretti

La protezione delle persone dai contatti elettrici diretti sarà garantita attraverso misure di protezione totali, ovvero mediante adeguato isolamento e/o involucri e barriere che ostacolino il contatto accidentale con le parti attive.

L'isolamento dell'impianto elettrico, lì dove non si adoperino cavi con guaina dovrà essere asportabile solo mediante attrezzo. Vernici, smalti, lacche e similari non sono considerati idonei dalla norma come mezzo per l'isolamento delle parti attive.

Inoltre, le barriere (quali ad es. i coperchi delle cassette di derivazione) dovranno essere asportabili solo mediante attrezzo.

L'isolamento delle apparecchiature costruite in fabbrica deve soddisfare le relative norme.

Se si rendesse necessario, per ragioni di esercizio, aprire un involucro o rimuovere una barriera, dovrà essere rispettata almeno una delle seguenti prescrizioni:

- Uso di chiave o attrezzo da parte di personale addestrato.
- Sezionamento delle parti attive con interblocco meccanico e/o elettrico.
- Interposizione di una barriera intermedia, che impedisca il contatto con le parti attive, con grado di protezione  $\geq \text{IP2x}$  rimovibile con chiave o attrezzo. L'isolamento delle apparecchiature costruite in fabbrica deve soddisfare le relative norme.

La protezione contro i contatti indiretti sarà invece garantita attraverso l'interruzione automatica dell'alimentazione. Ciò avverrà attraverso il corretto coordinamento tra i dispositivi di protezione contro il cortocircuito e l'impedenza dell'anello di guasto.

### 9.1.5 Calcolo delle correnti di impiego

Il calcolo delle correnti d'impiego viene eseguito in base alla classica espressione:

$$I_b = \frac{P_d}{k_{ca} \cdot V_n \cdot \cos \varphi}$$

nella quale:

- $k_{ca} = 1.73$  sistema trifase, tre conduttori attivi.

Se la rete è in corrente continua il fattore di potenza  $\cos \varphi$  è pari a 1.

Dal valore massimo (modulo) di  $I_b$  vengono calcolate le correnti di fase in notazione vettoriale (parte reale ed immaginaria) con le formule:

$$\begin{aligned} \dot{I}_1 &= I_b \cdot e^{-j\varphi} = I_b \cdot (\cos \varphi - j \sin \varphi) \\ \dot{I}_2 &= I_b \cdot e^{-j(\varphi - 2\pi/3)} = I_b \cdot \left( \cos \left( \varphi - \frac{2\pi}{3} \right) - j \sin \left( \varphi - \frac{2\pi}{3} \right) \right) \\ \dot{I}_3 &= I_b \cdot e^{-j(\varphi - 4\pi/3)} = I_b \cdot \left( \cos \left( \varphi - \frac{4\pi}{3} \right) - j \sin \left( \varphi - \frac{4\pi}{3} \right) \right) \end{aligned}$$

Il vettore della tensione  $V_n$  è supposto allineato con l'asse dei numeri reali:

$$\dot{V}_n = V_n + j0$$

La potenza di dimensionamento  $P_d$  è data dal prodotto:

$$P_d = P_n \cdot coeff$$

nella quale *coeff* è pari al fattore di utilizzo per utenze terminali oppure al fattore di contemporaneità per utenze di distribuzione.

Per le utenze terminali la potenza  $P_n$  è la potenza nominale del carico, mentre per le utenze di distribuzione  $P_n$  rappresenta la somma vettoriale delle  $P_d$  delle utenze a valle ( $P_d$  a valle).

La potenza reattiva delle utenze viene calcolata invece secondo la:

$$Q_n = P_n \cdot \tan \varphi$$

per le utenze terminali, mentre per le utenze di distribuzione viene calcolata come somma vettoriale delle potenze reattive nominali a valle ( $Q_d$  a valle).

Il fattore di potenza per le utenze di distribuzione viene valutato, di conseguenza, con la:

$$\cos \varphi = \cos \left( \arctan \left( \frac{Q_n}{P_n} \right) \right)$$

### 9.1.6 Calcolo della temperatura dei cavi

La valutazione della temperatura dei cavi si esegue in base alla corrente di impiego e alla corrente nominale tramite le seguenti espressioni:

$$T_{cavo}(I_b) = T_{ambiente} + \left( \alpha_{cavo} \cdot \frac{I_b^2}{I_z^2} \right)$$

$$T_{cavo}(I_n) = T_{ambiente} + \left( \alpha_{cavo} \cdot \frac{I_n^2}{I_z^2} \right)$$

esprese in °C.

Esse derivano dalla considerazione che la sovratemperatura del cavo a regime è proporzionale alla potenza in esso dissipata.

Il coefficiente  $\alpha_{cavo}$  è vincolato dal tipo di isolamento del cavo e dal tipo di tabella di posa che si sta usando.

### 9.1.7 Cadute di tensione

Le cadute di tensione sono calcolate vettorialmente. Per ogni utenza si calcola la caduta di tensione vettoriale lungo ogni fase e lungo il conduttore di neutro (se distribuito). Tra le fasi si considera la caduta di tensione maggiore che viene riportata in percentuale rispetto alla tensione nominale:

$$c.d.t(ib) = \max \left( \left| \sum_{i=1}^k \dot{Z}f_i \cdot \dot{I}f_i - \dot{Z}n_i \cdot \dot{I}n_i \right| \right)_{f=R,S,T}$$

Dove:

- $f$  rappresenta le tre fasi R, S, T;
- $n$  rappresenta il conduttore di neutro;
- $i$  rappresenta le  $k$  utenze coinvolte nel calcolo;

Il calcolo fornisce, quindi, il valore esatto della formula approssimata:

$$cdt(I_b) = k_{cdt} \cdot I_b \cdot \frac{L_c}{1000} \cdot (R_{cavo} \cdot \cos \varphi + X_{cavo} \cdot \sin \varphi) \cdot \frac{100}{V_n}$$

con:

- $k_{cdt}=1.73$  per sistemi trifase.

I parametri  $R_{cavo}$  e  $X_{cavo}$  sono ricavati dalla tabella UNEL in funzione del tipo di cavo (unipolare/multipolare) ed alla sezione dei conduttori; di tali parametri il primo è riferito a 70° C per i cavi con isolamento PVC, a 90° C per i cavi con isolamento EPR; mentre il secondo è riferito a 50Hz, ferme restando le unità di misura in  $\Omega/\text{km}$ .

Se la frequenza di esercizio è differente dai 50 Hz si imposta

$$X'_{cavo} = \frac{f}{50} \cdot X_{cavo}$$

La caduta di tensione da monte a valle (totale) di una utenza è determinata come somma delle cadute di tensione vettoriale, riferite ad un solo conduttore, dei rami a monte all'utenza in esame, da cui, viene successivamente determinata la caduta di tensione percentuale

riferendola al sistema (trifase o monofase) e alla tensione nominale dell'utenza in esame. Sono adeguatamente calcolate le cadute di tensione totali nel caso siano presenti trasformatori lungo la linea (per esempio trasformatori MT/BT o BT/BT). In tale circostanza, infatti, il calcolo della caduta di tensione totale tiene conto sia della caduta interna nei trasformatori, sia della presenza di spine di regolazione del rapporto spire dei trasformatori stessi.

Se al termine del calcolo delle cadute di tensione alcune utenze abbiano valori superiori a quelli definiti, si ricorre ad un procedimento di ottimizzazione per far rientrare la caduta di tensione entro limiti prestabiliti. Le sezioni dei cavi vengono forzate a valori superiori cercando di seguire una crescita uniforme fino a portare tutte le cadute di tensione sotto i limiti.

## 9.2 Fornitura della rete in Alta tensione

Nel caso della media e alta tensione si considerano i seguenti dati di partenza:

- Tensione di fornitura  $V_{mt}$  (in kV);
- Corrente di corto circuito trifase massima,  $I_{kmax}$  (in kA);
- Corrente di corto circuito monofase a terra massima,  $I_{k1ftmax}$  (in kA);

Se si conoscono si possono aggiungere anche le correnti:

- Corrente di corto circuito trifase minima,  $I_{kmin}$  (in kA);
- Corrente di corto circuito monofase a terra minima,  $I_{k1ftmin}$  (in kA);

Dai dati si ricavano le impedenze equivalenti della rete di fornitura per determinare il generatore equivalente di tensione.

$$Z_{ccmt} = \frac{1,1 \cdot V_{mt}}{\sqrt{3} \cdot I_{kmax}} \cdot 1000$$

da cui si ricavano le componenti dirette:

$$\cos \varphi_{ccmt} = \sqrt{1 - (0,995)^2}$$

$$X_{dl} = 0,995 \cdot Z_{ccmt}$$

$$R_{dl} = \cos \varphi_{ccmt} \cdot Z_{ccmt}$$

e le componenti omopolari:

$$R_0 = \frac{\sqrt{3} \cdot 1,1 \cdot V_{mt}}{I_{k1ftmax}} \cdot 1000 \cdot \cos \varphi_{ccmt} - (2 \cdot R_{dl})$$

$$X_0 = R_0 \cdot \sqrt{\frac{1}{(\cos \varphi_{ccmt})^2} - 1}$$

### 9.3 Trasformatori

Per i trasformatori, sono richiesti i seguenti dati di targa:

- potenza nominale  $P_n$  (in kVA);
- perdite di cortocircuito  $P_{cc}$  (in W);
- tensione di cortocircuito  $v_{cc}$  (in %)
- rapporto tra la corrente di inserzione e la corrente nominale  $I_{lr}/I_{rt}$ ;
- rapporto tra la impedenza alla sequenza omopolare e quella di corto circuito;
- tipo di collegamento;
- tensione nominale del primario  $V_1$  (in kV);
- tensione nominale del secondario  $V_{02}$  (in V).

Dai dati di targa si possono ricavare le caratteristiche elettriche dei trasformatori, ovvero:

- Impedenza di cortocircuito del trasformatore espressa in m $\Omega$ :

$$Z_{cct} = \frac{v_{cc}}{100} \cdot \frac{V_{02}^2}{P_n}$$

- Resistenza di cortocircuito del trasformatore espressa in m $\Omega$ :

$$R_{cct} = \frac{P_{cc}}{1000} \cdot \frac{V_{02}^2}{P_n^2}$$

- Reattanza di cortocircuito del trasformatore espressa in m $\Omega$ :

$$X_{cct} = \sqrt{Z_{cct}^2 - R_{cct}^2}$$

L'impedenza a vuoto omopolare del trasformatore viene ricavata dal rapporto con l'impedenza di cortocircuito dello stesso:

$$Z_{vot} = Z_{cct} \cdot \left( \frac{Z_{vot}}{Z_{cct}} \right)$$

dove il rapporto  $Z_{vot}/Z_{cct}$  vale usualmente 10-20.

In uscita al trasformatore si otterranno pertanto i parametri alla sequenza diretta, in m $\Omega$ :

$$Z_d = \left| \dot{Z}_{cct} \right| = \sqrt{R_d^2 + X_d^2}$$

nella quale:

$$R_d = R_{cct}$$

$$X_d = X_{cct}$$

I parametri alla sequenza omopolare dipendono invece dal tipo di collegamento del trasformatore in quanto, in base ad esso, abbiamo un diverso circuito equivalente.

Pertanto, se il trasformatore è collegato triangolo/stella (Dy), si ha:

$$R_{ot} = R_{cct} \cdot \frac{\left(\frac{Z_{vot}}{Z_{cct}}\right)}{1 + \left(\frac{Z_{vot}}{Z_{cct}}\right)}$$

$$X_{ot} = X_{cct} \cdot \frac{\left(\frac{Z_{vot}}{Z_{cct}}\right)}{1 + \left(\frac{Z_{vot}}{Z_{cct}}\right)}$$

$$Z_{ot} = Z_{cct} \cdot \frac{\left(\frac{Z_{vot}}{Z_{cct}}\right)}{1 + \left(\frac{Z_{vot}}{Z_{cct}}\right)}$$

Diversamente, se il trasformatore è collegato stella/stella (Yy) avremmo:

$$R_{ot} = R_{cct} \cdot \left(\frac{Z_{vot}}{Z_{cct}}\right)$$

$$X_{ot} = X_{cct} \cdot \left(\frac{Z_{vot}}{Z_{cct}}\right)$$

$$Z_{ot} = Z_{cct} \cdot \left(\frac{Z_{vot}}{Z_{cct}}\right)$$

### 9.3.1 Fattori di correzione per trasformatori (EN 60909-0)

La norma EN 60909-0 fornisce una serie di fattori correttivi per il calcolo delle impedenze di alcune macchine presenti nella rete. Quelle utilizzate per il calcolo dei guasti riguardano i generatori e i trasformatori.

### 9.3.2 Fattore di correzione per trasformatori (EN 60909-0 par. 6.3.3)

Per i trasformatori a due avvolgimenti, con o senza regolazione delle spire, quando si stanno calcolando le correnti massime di cortocircuito, si deve introdurre un fattore di correzione di impedenza  $K_T$  tale che:

$$Z_{cctK} = K_T \cdot Z_{cct}$$

$$K_T = 0.95 \cdot \frac{c_{max}}{1 + 0.6 \cdot x_T}$$

dove

$$x_T = \frac{X_{cct}}{V_{02}^2 / P_n}$$

è la reattanza relativa del trasformatore e  $C_{max}$  è preso dalla tabella 1 ed è relativo alla tensione lato bassa del trasformatore.

Tale fattore deve essere applicato alla impedenza diretta, inversa ed omopolare.

#### 9.4 Calcolo dei guasti

Con il calcolo dei guasti vengono determinate le correnti di cortocircuito minime e massime immediatamente a valle della protezione dell'utenza (inizio linea) e a valle dell'utenza (fondo linea).

Le condizioni in cui vengono determinate sono:

- guasto trifase (simmetrico);
- guasto bifase (dissimmetrico);
- guasto bifase-neutro (dissimmetrico);
- guasto bifase-terra (dissimmetrico);
- guasto fase terra (dissimmetrico);
- guasto fase neutro (dissimmetrico).

I parametri alle sequenze di ogni utenza vengono inizializzati da quelli corrispondenti all'utenza a monte che, a loro volta, inizializzano i parametri della linea a valle.

##### 9.4.1 Calcolo delle correnti massime di cortocircuito

Il calcolo delle correnti di cortocircuito massime viene condotto come descritto nella norma CEI EN 60909-0. Sono previste le seguenti condizioni generali:

- guasti con contributo della fornitura e dei generatori in regime di guasto subtransitorio. Eventuale gestione della attenuazione della corrente per il guasto trifase 'vicino' alla sorgente.
- tensione di alimentazione nominale valutata con fattore di tensione  $C_{max}$ ;
- impedenza di guasto minima della rete, calcolata alla temperatura di 20°C.

La resistenza diretta, del conduttore di fase e di quello di protezione, viene riportata a 20 °C, partendo dalla resistenza data dalle tabelle UNEL 35023-2012 che può essere riferita a 70 o 90 °C a seconda dell'isolante, per cui esprimendola in mΩ risulta:

$$R_{dc} = \frac{R_c}{1000} \cdot \frac{L_c}{1000} \cdot \left( \frac{1}{1 + (\alpha \cdot \Delta T)} \right)$$

dove  $\Delta T$  è 50 o 70 °C e  $\alpha = 0.004$  a 20 °C.

Nota poi dalle stesse tabelle la reattanza a 50 Hz, se  $f$  è la frequenza d'esercizio, risulta:

$$X_{dc} = \frac{X_c}{1000} \cdot \frac{L_c}{1000} \cdot \frac{f}{50}$$

possiamo sommare queste ai parametri diretti dell'utenza a monte ottenendo così la

impedenza di guasto minima a fine utenza.

Per le utenze in condotto in sbarre, le componenti della sequenza diretta sono:

$$R_{db} = \frac{R_b}{1000} \cdot \frac{L_b}{1000}$$

La reattanza è invece:

$$X_{db} = \frac{X_b}{1000} \cdot \frac{L_b}{1000} \cdot \frac{f}{50}$$

Per le utenze con impedenza nota, le componenti della sequenza diretta sono i valori stessi di resistenza e reattanza dell'impedenza.

Per quanto riguarda i parametri alla sequenza omopolare, occorre distinguere tra conduttore di neutro e conduttore di protezione.

Per il conduttore di neutro si ottengono da quelli diretti tramite le:

$$\begin{aligned} R_{0cN} &= R_{dc} + 3 \cdot R_{dcN} \\ X_{0cN} &= 3 \cdot X_{dc} \end{aligned}$$

Per il conduttore di protezione, invece, si ottiene:

$$\begin{aligned} R_{0cPE} &= R_{dc} + 3 \cdot R_{dcPE} \\ X_{0cPE} &= 3 \cdot X_{dc} \end{aligned}$$

dove le resistenze  $R_{dcN}$  e  $R_{dcPE}$  vengono calcolate come la  $R_{dc}$ .

Per le utenze in condotto in sbarre, le componenti della sequenza omopolare sono distinte tra conduttore di neutro e conduttore di protezione.

Per il conduttore di neutro si ha:

$$\begin{aligned} R_{0bN} &= R_{db} + 3 \cdot R_{dbN} \\ X_{0bN} &= 3 \cdot X_{db} \end{aligned}$$

Per il conduttore di protezione viene utilizzato il parametro di reattanza dell'anello di guasto fornito dai costruttori:

$$\begin{aligned} R_{0bPE} &= R_{db} + 3 \cdot R_{dbPE} \\ X_{0bPE} &= X_{db} + 3 \cdot (X_{b-ring} - X_{db}) \end{aligned}$$

I parametri di ogni utenza vengono sommati con i parametri, alla stessa sequenza, dell'utenza a monte, espressi in mΩ:

$$\begin{aligned} R_d &= R_{dc} + R_{d-up} \\ X_d &= X_{dc} + X_{d-up} \\ R_{0N} &= R_{0cN} + R_{0N-up} \\ X_{0N} &= X_{0cN} + X_{0N-up} \\ R_{0PE} &= R_{0cPE} + R_{0PE-up} \\ X_{0PE} &= X_{0cPE} + X_{0PE-up} \end{aligned}$$

Per le utenze in condotto in sbarre basta sostituire *sbarra a cavo*.

Ai valori totali vengono sommate anche le impedenze della fornitura.

Noti questi parametri vengono calcolate le impedenze (in mΩ) di guasto trifase:

$$Z_{k\min} = \sqrt{R_d^2 + X_d^2}$$

Fase neutro (se il neutro è distribuito):

$$Z_{k1N\min} = \frac{1}{3} \cdot \sqrt{(2 \cdot R_d + R_{0N})^2 + (2 \cdot X_d + X_{0N})^2}$$

Fase terra:

$$Z_{k1PE\min} = \frac{1}{3} \cdot \sqrt{(2 \cdot R_d + R_{0PE})^2 + (2 \cdot X_d + X_{0PE})^2}$$

Da queste si ricavano le correnti di cortocircuito trifase  $I_{k\max}$ , fase neutro  $I_{k1N\max}$ , fase terra  $I_{k1PE\max}$  e bifase  $I_{k2\max}$  espresse in kA:

$$I_{k\max} = \frac{V_n}{\sqrt{3} \cdot Z_{k\min}}$$

$$I_{k1N\max} = \frac{V_n}{\sqrt{3} \cdot Z_{k1N\min}}$$

$$I_{k1PE\max} = \frac{V_n}{\sqrt{3} \cdot Z_{k1PE\min}}$$

$$I_{k2\max} = \frac{V_n}{2 \cdot Z_{k\min}}$$

Infine dai valori delle correnti massime di guasto si ricavano i valori di cresta delle correnti:

$$I_p = \kappa \cdot \sqrt{2} \cdot I_{k\max}$$

$$I_{p1N} = k \cdot \sqrt{2} \cdot I_{k1N\max}$$

$$I_{p1PE} = \kappa \cdot \sqrt{2} \cdot I_{k1PE\max}$$

$$I_{p2} = \kappa \cdot \sqrt{2} \cdot I_{k2\max}$$

dove:

$$\kappa \approx 102 + 0.98 \cdot e^{-3 \frac{R_d}{X_d}}$$

Calcolo della corrente di cresta per guasto trifase secondo la norma IEC 61363-1: Electrical installations of ships. Se richiesto,  $I_p$  può essere calcolato applicando il metodo semplificato

della norma riportato al paragrafo 6.2.5 Neglecting short-circuit current decay. Esso prevede l'utilizzo di un coefficiente  $k = 1.8$  che tiene conto della massima asimmetria della corrente dopo il primo semiperiodo di guasto.

#### 9.4.2 Calcolo delle correnti minime di cortocircuito

Il calcolo delle correnti di cortocircuito minime viene condotto come descritto nella norma CEI EN 60909-0 par 7.1.2 per quanto riguarda:

- guasti con contributo della fornitura e dei generatori. Il contributo dei generatori è in regime permanente per i guasti trifasi 'vicini', mentre per i guasti 'lontani' o asimmetrici si considera il contributo subtransitorio;
- la tensione nominale viene moltiplicata per il fattore di tensione  $C_{min}$ , che può essere 0.95 se  $C_{max} = 1.05$ , oppure 0.90 se  $C_{max} = 1.10$  (Tab. 1 della norma CEI EN 60909-0); in media e alta tensione il fattore  $C_{min}$  è pari a 1;

Per la temperatura dei conduttori si può scegliere tra:

- il rapporto Cenelec R064-003, per cui vengono determinate le resistenze alla temperatura limite dell'isolante in servizio ordinario del cavo;
- la norma CEI EN 60909-0, che indica le temperature alla fine del guasto.

Le temperature sono riportate in relazione al tipo di isolamento del cavo, precisamente:

Isolante	Cenelec R064-003 [°C]	CEI EN 60909-0 [°C]
PVC	70	160
G	85	200
G5/G7/G10/EPR	90	250
HEPR	120	250
serie L rivestito	70	160
serie L nudo	105	160
serie H rivestito	70	160
serie H nudo	105	160

Tabella 7 Temperature conduttori

Da queste è possibile calcolare le resistenze alla sequenza diretta e omopolare alla temperatura relativa all'isolamento del cavo:

$$R_{d \max} = R_d \cdot (1 + \alpha \cdot \Delta T)$$

$$R_{0N \max} = R_{0N} \cdot (1 + \alpha \cdot \Delta T)$$

$$R_{0PE \max} = R_{0PE} \cdot (1 + \alpha \cdot \Delta T)$$

Queste, sommate alle resistenze a monte, danno le resistenze massime.

Valutate le impedenze mediante le stesse espressioni delle impedenze di guasto massime, si possono calcolare le correnti di cortocircuito trifase  $I_{k1min}$  e fase terra, espresse in kA:

$$I_{k \min} = \frac{0.95 \cdot V_n}{\sqrt{3} \cdot Z_{k \max}}$$

$$I_{k1N \min} = \frac{0.95 \cdot V_n}{\sqrt{3} \cdot Z_{k1N \max}}$$

$$I_{k1PE \min} = \frac{0.95 \cdot V_n}{\sqrt{3} \cdot Z_{k1PE \max}}$$

$$I_{k2 \min} = \frac{0.95 \cdot V_n}{2 \cdot Z_{k \max}}$$

### 9.4.3 Calcolo guasti bifase-neutro e bifase-terra

Riportiamo le formule utilizzate per il calcolo dei guasti. Chiamiamo con  $Z_d$  la impedenza diretta della rete, con  $Z_i$  l'impedenza inversa, e con  $Z_0$  l'impedenza omopolare.

Nelle formule riportate in seguito,  $Z_0$  corrisponde all'impedenza omopolare fase-neutro o fase-terra.

$$I_{k2} = \left| -j \cdot V_n \cdot \frac{\dot{Z}_0 - \alpha \cdot \dot{Z}_i}{\dot{Z}_d \cdot \dot{Z}_i + \dot{Z}_d \cdot \dot{Z}_0 + \dot{Z}_i \cdot \dot{Z}_0} \right|$$

e la corrente di picco:

$$I_{p2} = k \cdot \sqrt{2} \cdot I_{k2 \max}$$

### 9.4.4 Scelta delle protezioni

La scelta delle protezioni viene effettuata verificando le caratteristiche elettriche nominali delle condutture ed i valori di guasto; in particolare le grandezze che vengono verificate sono:

- corrente nominale, secondo cui si è dimensionata la conduttura;
- numero poli;
- tipo di protezione;
- tensione di impiego, pari alla tensione nominale dell'utenza;
- potere di interruzione, il cui valore dovrà essere superiore alla massima corrente di guasto a monte dell'utenza  $I_{km \max}$ ;
- taratura della corrente di intervento magnetico, il cui valore massimo per garantire la protezione contro i contatti indiretti (in assenza di differenziale) deve essere minore della minima corrente di guasto alla fine della linea ( $I_{mag \max}$ ).

### 9.4.5 Verifica della protezione a cortocircuito delle condutture

Secondo la norma 64-8 par.434.3 "Caratteristiche dei dispositivi di protezione contro i cortocircuiti.", le caratteristiche delle apparecchiature di protezione contro i cortocircuiti devono soddisfare a due condizioni:

- il potere di interruzione non deve essere inferiore alla corrente di cortocircuito presunta nel punto di installazione (a meno di protezioni adeguate a monte);
- la caratteristica di intervento deve essere tale da impedire che la temperatura del cavo non oltrepassi, in condizioni di guasto in un punto qualsiasi, la massima consentita.

La prima condizione viene considerata in fase di scelta delle protezioni. La seconda invece può essere tradotta nella relazione:

$$I^2 \cdot t \leq K^2 S^2$$

ossia in caso di guasto l'energia specifica sopportabile dal cavo deve essere maggiore o uguale a quella lasciata passare dalla protezione.

La norma CEI al par. 533.3 "Scelta dei dispositivi di protezioni contro i cortocircuiti" prevede pertanto un confronto tra le correnti di guasto minima (a fondo linea) e massima (inizio linea) con i punti di intersezione tra le curve. Le condizioni sono pertanto:

- a) Le intersezioni sono due:
  - $I_{ccmin}/I_{inters min}$  (quest'ultima riportata nella norma come  $I_a$ );
  - $I_{ccmax}/I_{inters max}$  (quest'ultima riportata nella norma come  $I_b$ ).
- b) L'intersezione è unica o la protezione è costituita da un fusibile:
  - $I_{ccmin}/I_{inters min}$ .
- c) L'intersezione è unica e la protezione comprende un magnetotermico:
  - $I_{cc max}/I_{inters max}$ .

Sono pertanto verificate le relazioni in corrispondenza del guasto, calcolato, minimo e massimo. Nel caso in cui le correnti di guasto escano dai limiti di esistenza della curva della protezione il controllo non viene eseguito.

#### Note:

- La rappresentazione della curva del cavo è una iperbole con asintoti  $K^2S^2$  e la  $I_z$  dello stesso.
- La verifica della protezione a cortocircuito eseguita dal programma consiste in una verifica qualitativa, in quanto le curve vengono inserite riprendendo i dati dai grafici di catalogo e non direttamente da dati di prova; la precisione con cui vengono rappresentate è relativa.

### 9.5 Dati tecnici del cavo utilizzato

Tutti i cavi di cui si farà utilizzo saranno conformi alla norma IEC 60502-2.

L'isolante dei cavi è costituito da miscela in HEPR e fra esso e il conduttore è interposto uno strato di miscela semiconduttrice. Sopra l'isolante è posto uno strato per la tenuta all'acqua, consistente in un nastro semiconduttore. Il cavo presenta uno schermo metallico realizzato con nastro di rame avvolto a cilindro longitudinale. Sopra lo schermo metallico sono presenti due differenti strati di protezione in guaina protettiva in polietilene. La tensione nominale dei cavi è pari a 36kV

Considerate le diverse portate del cavo nelle differenti modalità di posa, ai fini del calcolo si terrà conto delle condizioni peggiorative, ossia quelle relative al tratto con posa interrata, intendendosi con esse verificate anche le altre condizioni di posa aventi parametri di calcolo migliorativi rispetto al caso in esame.

#### 9.5.1 Temperatura del terreno

Al fine di un corretto dimensionamento, occorre tenere conto della temperatura del terreno effettiva, diversa da quella STC di riferimento (20°) attraverso l'utilizzo di idonei fattori correttivi. È stata stimata una temperatura massima del terreno pari a 25°C alla profondità di posa dei cavi, per cui il fattore correttivo utilizzato sarà  $K_1 = 0,96$ .

#### 9.5.2 Resistività termica del terreno

In generale, per tutte le linee elettriche, si considera la posa in terreno asciutto (condizione più gravosa) con una resistività termica del terreno pari a  $1,5 K \cdot m/W$ .

Pertanto, non si applica alcun fattore correttivo e si utilizzerà  $K4 = 1$ .

## 10 Cabina di raccolta

Le linee provenienti dalle cabine di trasformazione del parco fotovoltaico confluiranno nella cabina di raccolta.

Al fine di sezionare e proteggere opportunamente le linee in ingresso ed in uscita, verranno installate le seguenti apparecchiature elettromeccaniche:

- n. 6 unità AT arrivo/partenza con scaricatore;
- n. 5 unità AT interruttori di protezione;
- n. 1 unità AT celle misure.
- n. 5 unità AT sezionatori;
- n. 1 unità AT TR Ausiliario.

Nell'elenco sopra riportato è incluso l'interruttore in AT per la protezione del trasformatore AT/BT dedicato ai servizi ausiliari.

### 10.1 Caratteristiche delle apparecchiature di media tensione

L'isolamento dell'apparecchiatura sarà corrispondente al valore normale delle tensioni nominali, pari o superiore a quella della tensione primaria effettiva.

Il valore di corrente di corto circuito da considerare per il progetto e le prove, deve essere ricavato dalla potenza apparente di corto circuito della rete nel punto di installazione (dato da richiedere al Gestore della RTN).

In mancanza di dati attendibili al riguardo si possono assumere i seguenti valori:

TENSIONE MASSIMA DI RETE [kV]	POTENZA APPARENTE DI CORTO CIRCUITO [MVA]
30	1000
in accordo con le norme CEI 14-4	

Non sono consentiti organi di manovra che non interrompano contemporaneamente le tre fasi.

#### 10.1.1 Trasformatore MT/BT

Il trasformatore dovrà essere conforme alle relative norme CEI 14-4 e CEI 14-8.

Col commutatore di M.T. sulla presa principale, i valori delle perdite dovute al carico, delle perdite a vuoto, delle correnti a vuoto, devono essere quelli indicati nel seguente prospetto:

Potenza nominale (kVA)	Perdite dovute al carico (W)	Perdite a vuoto (W)	Corrente a vuoto (% In)
100	1.400	250	1,5

I livelli di potenza sonora non potranno superare i 56 dB(A) e comunque dovranno essere commisurati alle esigenze del luogo di installazione.

### 10.1.2 Protezioni sezione 30 kV

Le protezioni MT dovranno avere le seguenti caratteristiche elettriche principali:

Tensione nominale	k V	36
Tensione nominale di tenuta a frequenza industriale 50Hz/1min valore efficace	k V	70
Tensione nominale di tenuta a impulso atmosferico 1,2/50 $\mu S$ valore di picco	k V	170
Tensione di esercizio	k V	30
Frequenza nominale	H z	50 / 60
N° fasi	-	3
Corrente nominale delle sbarre principali	A	630
Corrente nominale max delle derivazioni	A	630
Corrente nominale ammissibile di breve durata	k A	12,5
Corrente nominale di picco	k A	31,5
Potere di interruzione degli interruttori alla tensione nominale	k A	12,5
Durata nominale del corto circuito	s	1

Dovranno inoltre possedere i seguenti requisiti:

- Verniciatura standard colore RAL 9003 goffrato (solo fronte)
- Derivatore capacitivo e lampade presenza di tensione  $U_s$  da 10 a 20 KV
- Comando man a passaggio di punto morto tipo CIT
- Contatti aux su interruttore (1NA+1NC+1CO)
- Contatti aux supplementari (1NA su IMS/SEZ + 1NA+1NC su SEZ DI TERRA)
- Blocco chiave su SEZ TERRA chiave libera in posizione di aperto
- Blocco chiave su SEZ TERRA chiave libera in posizione di chiuso
- Blocco chiave chiave libera in posizione di aperto
- n. 2 Sensore rilevazione arco
- Res anticondensa 50W 220V 50Hz regolata da termostato e protetta da interruttore
- n.2 lampade di segnalazione (Rosso= chiuso; verde= aperto)
- Interruttore automatico protezione circuiti aux
- Toroide omopolare chiuso tipo CSH 160 diametro = 160 mm CEI 0-16
- N.1 kit di 3 sensori per rilevazione termica arrivo/partenza cavi

### 10.1.3 Unità misura tensione sbarre (fase/massa): 30kV

Le celle misura dovranno avere le seguenti caratteristiche e dotazioni:

- IAC AFLR 12,5kA 1s Sfogo gas dal basso
- Verniciatura standard colore RAL 9003 goffrato (solo fronte)
- Senza presenza di tensione
- n.3 TV f/m VRQ2/S3 Ue20kV Rapp 30000 : r3/100:r3/100:3 - 5VA cl05/5VA cl05/50VA cl05 - 3P
- Resistenza antiferrisonanza cablata
- Comando manuale a manovra dipendente tipo CS1
- Contatti aux su SEZ per unità CM e CM2 (2NA+1NC)
- Contatto aux segnalazione fusibile intervenuto (1NA)
- Blocco chiave su SEZ TERRA chiave libera in posizione di aperto
- Blocco chiave su SEZ TERRA chiave libera in posizione di chiuso
- Blocco chiave su IMS/SEZ chiave libera in posizione di aperto
- n.3 Fusibile tipo FUSARC-CF Vn =30 KV In=6,3 A
- n.2 Sensori rilevazione arco
- Resistenza anticondensa 50W 220V 50Hz regolata da termostato e protetta da interruttore

## 10.2 Sistema di protezione, monitoraggio, comando e controllo

La SEU verrà controllata attraverso:

- Sistema di protezioni AT/MT con protocollo IEC61850;
- Sistema SCADA+RTU+UPDM (inglobato in sistema unico di stazione).

I sistemi di controllo, di protezione e di misura centralizzati sono installati nel locale dedicato ed interconnessi tra loro e con le apparecchiature installate tramite cavi a fibre ottiche e hanno la funzione di connettere l'impianto con i sistemi remoti di telecontrollo, di provvedere al controllo e all'automazione a livello di impianto di tutta la stazione, alla restituzione dell'oscillografia e alla registrazione cronologica degli eventi.

Dalla sala quadri centralizzata è possibile il controllo della stazione qualora venga a mancare il sistema di teletrasmissione o quando questo è messo fuori servizio per manutenzione. In sala quadri la situazione dell'impianto (posizione degli organi di manovra), le misure e le segnalazioni sono rese disponibili su un display video dal quale è possibile effettuare le manovre di esercizio.

Il sistema di monitoraggio previsto comprende una serie di funzioni e caratteristiche per garantire un funzionamento affidabile e fornire informazioni precise agli operatori, anche in maniera automatizzata; in particolare in conformità ai requisiti TERNA, il monitoraggio dell'impianto implementa e risponde all'allegato A.68 " Impianti di produzione fotovoltaica - requisiti minimi per la connessione e l'assistenza in parallelo con la rete AT.

Le caratteristiche principali supportate dal PPC proposto sono:

- Stato dell'impianto
- Registrazione
- segnalazione
- Gestione di eventi e allarmi
- Gestione della manutenzione

Pertanto, il sistema si dovrà occupare di post processare tutti i segnali caratteristici provenienti dall'impianto, quali:

- Parametri di controllo (Tensione/corrente) delle stringhe e delle string box;
- Caratteristica tensione corrente negli inverter e nei trasformatori;
- Stato dei quadri BT e MT;
- Potenze elettriche e fisiche coinvolte;

Per la comunicazione tra i dispositivi di campo vengono utilizzati il database centrale e il protocollo di comunicazione Ethernet e TCP / IP, secondo il layout che si descrive con la figura seguente:

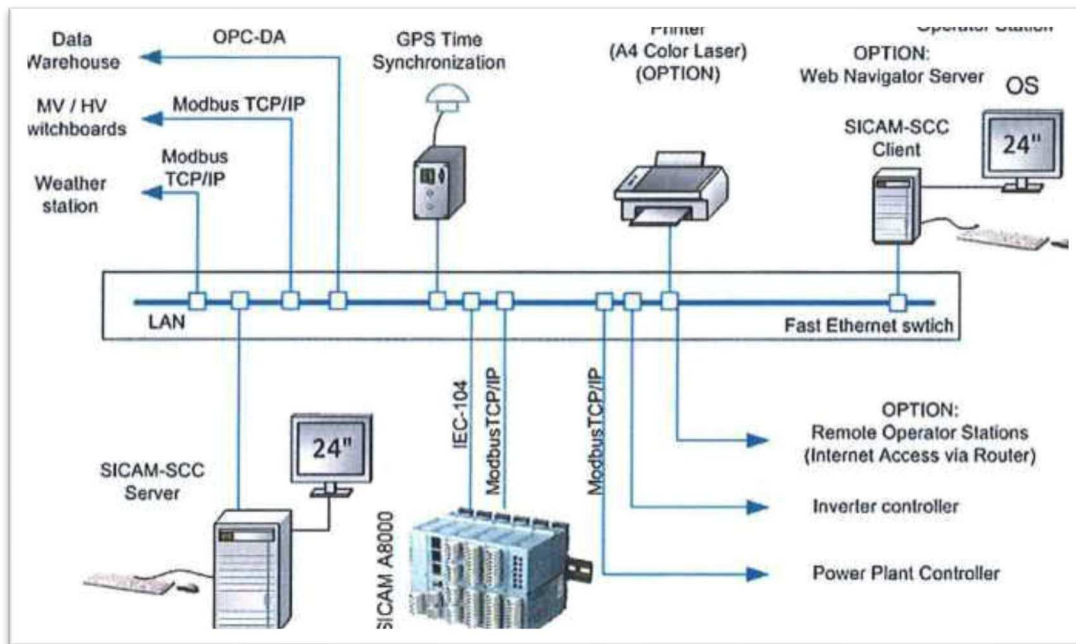


Figure 9 Layout di comunicazione

La soluzione PPC prevista per il parco fotovoltaico comprende i seguenti elementi:

- 41 RS 900 (una per ogni stazione di trasformazione)
- 1 RSG2101
- 1 SICAM A8050 (concentratore di dati)
- 1 Controller centrale elettrica 3AK
- 1 Server SICAM-SCC (con monitor)

Chiaramente il sistema di monitoraggio sarà collegato alla rete mediante cavi in rame e a fibra ottica a norma CEI EN 60794-03 e ITU3T G.652.

Al sistema SCADA faranno capo anche i punti di misura di una serie di parametri ambientali e climatici tali da poter monitorare le condizioni al contorno (Bc's).

Pertanto il monitoring and data acquisition system sarà composto da due sezioni: una che ha in carico il monitoraggio dei parametri da cui dipendono le performance dell'impianto e un'altra più prettamente climatica. Quest'ultima parte, in capo sostanzialmente a un sistema di stazioni di rilevamento meteo, sarà di supporto al sistema più prettamente tecnico che dovrà

monitorare l'irraggiamento, la temperatura dei moduli fotovoltaici mediante un sistema di rilevazione dei dati di irraggiamento e un sistema di piranometri.

Naturalmente la parte software di processing dei dati acquisiti è affidata al sistema SCADA che vedrà quindi necessariamente un sistema di collegamento principalmente mediante interfaccia Ethernet e facendo affidamento su protocolli compatibili.

### 10.3 Impianto di Terra

L'impianto di messa a terra sarà realizzato mediante la posa di dispersori di terra, del tipo a croce, infissi verticalmente nel terreno, in acciaio zincato di spessore sufficiente ad assicurare la necessaria robustezza meccanica nei confronti delle sollecitazioni conseguenti l'infissione nel terreno. I dispersori saranno fra di loro interconnessi tramite corda in rame nudo di sezione opportuna, posata ad intimo contatto con il terreno, e disposta ad anello attorno al perimetro dei basamenti in calcestruzzo.

### 10.4 Impianto di Sicurezza

È previsto un impianto di Sicurezza e Antiintrusione deputato a garantire l'integrità dell'impianto da eventuali atti criminosi. Va da sé che la prima misura atta a preservare l'impianto da eventuali accessi non autorizzati è la rilevazione dei tentativi di accesso dall'esterno mediante l'installazione di un sistema di sicurezza perimetrale e un sistema di videosorveglianza che abbia contezza della situazione lungo il perimetro dell'impianto.

Naturalmente le immagini acquisite, a norma di legge, verranno registrate mediante un sistema di video-recording a circuito chiuso.

Si prevede:

- Una postazione di Videosorveglianza, Videonalisi e Videorecording, dotata di NVR e monitor;
- Accesso da remoto mediante port forwarding da router internet, in questo modo sarà possibile accedere all'intero sistema in qualunque momento.
- La definizione delle zone e dei protocolli di sistema verrà effettuata in fase di progettazione esecutiva.
- Per quanto riguarda il sistema di antiintrusione perimetrale questo sarà dotato di una centrale dotata di modulo telefonico GSM/GPRS accessibile anche da applicazioni smartphone o da remoto.
- Sensori di contatto installati nei punti di accesso;
- Sensori volumetrici tali da monitorare la viabilità di accesso;
- Sirene di allarme;
- Inseritori a chiave RFID con tastierino numerico.

Data l'importanza rivestita dalla SEU si prevede un sistema di sorveglianza dedicato.

## 11 Impianto di illuminazione

Il Parco Fotovoltaico sarà fornito da un sistema di illuminazione esterna di tre tipi:

Illuminazione perimetrale per i quattro campi

L'Illuminazione esterna per le cabine di campo e di impianto

Tali sistemi sono stati progettati al fine di garantire il minimo possibile di energia e inquinamento luminoso utilizzando le moderne tecnologie a LED e prevedendo un sistema di sensori, già presente per l'impianto di sicurezza, che sarà tarato per attivarsi esclusivamente con la presenza di entità significative (per massa e volume). Ciò consentirà all'impianto di non attivarsi per la maggior parte del tempo e non essendo attivato dalla la presenza della fauna locale di piccola taglia (es. volpi, conigli, istrici ecc.).

#### Illuminazione perimetrale SSEU

Sarà realizzato un impianto di illuminazione per la videosorveglianza composto da armature IP65 in doppio isolamento (classe 2) con lampade a LED da 79W posti nelle immediate vicinanze delle telecamere e quindi sulla sommità del palo.

#### Illuminazione esterna cabine di campo e di impianto

L'impianto di illuminazione esterna delle cabine sarà così configurato:

- Tipo lampade: 24 led 1144 Litio - POWERLED;
- Tipo armatura: corpo Al pressofuso, con alettature di raffreddamento;
- Numero lampade: 4;
- Funzione: illuminazione piazzole per manovre e sosta.

## **12 Elettrodotto di collegamento**

Il progetto dell'elettrodotto aereo per il collegamento tra SEU e SE, di lunghezza pari a circa 9 Km, è oggetto di progettazione separata.

Si rimanda pertanto agli elaborati specifici.

## **13 Valutazione dei campi elettrici e magnetici**

Le informazioni circa lo studio dei campi elettromagnetici e le risultanze dei relativi calcoli sono riportate nella relazione specialistica allegata al progetto.

## **14 Inquinamento acustico**

Nelle SEU le apparecchiature che possono emettere rumore in modo continuativo sono il trasformatore AT/MT, per i quali si può considerare un livello di pressione sonora  $L_p(A)$  a vuoto alla tensione nominale non superiore a 72 dB(A) a 0.3 metri in funzionamento ONAN e 78 dB(A) a 2 metri in funzionamento ONAF: esso però non viene percepito all'esterno del perimetro di recinzione.

Anche gli interruttori, durante le manovre, possono provocare un rumore trasmissibile all'esterno ma tale circostanza si potrà verificare per una brevissima durata e con frequenze basse.

In ogni caso il rumore sarà contenuto nei limiti previsti dal DPCM 01/03/1991 con ss. mm. ed ii. e la legge quadro sull'inquinamento acustico del 26 ottobre 1995 n. 447.

## 15 Allegati

A seguire si allegano i report del calcolo di dimensionamento:

1. Cavetteria;
2. Dati salienti utenza;
3. Verifiche

Il  
Progettista

## Cavetteria

Commessa:

Descrizione:

Cliente:

Responsabile:

Data: 27/04/2023

Alimentazioni:

Tipo di quadro:

Grado di protezione:

Materiali usati:

Riferimenti:

Operatore:

Note:

# Cavetteria

Data: 27/04/2023

Responsabile:

Cliente:

Utenza	Formazione	Materiale	Lc [m]	Iz [A]	T (Ib) [°C]	Tamb [°C]	CdtT (Ib) [%]	Posa cavo
	Designazione	Isolante	Pross.	k decl.	T (In) [°C]	K²S² F [A²s]	CdtT (In) [%]	
	Tab. posa	Tipo posa						

## RACCOLTA ARRIVO\_AT

ARRIVO_AT	3x(1x500)	RAME	9000	690,1	81,7	30	-1,19	
	RG7H1R 26/45 kV	HEPR	1	0,93	83,2	5,112*10 <sup>9</sup>	-1,56	
	CEI 11-17 (Media)	M - Cavi unipolari direttamente interrati con protezion meccanica						

## RACCOLTA CAMPO RACCOLTA

RACCOLTA.SC1	3x(1x70)	RAME	280,2	245,5	43,2	30	-1,24	
	RG7H1R 26/45 kV	HEPR	1	0,93	48	1,002*10 <sup>8</sup>	-1,62	
	CEI 11-17 (Media)	M - Cavi unipolari direttamente interrati con protezion meccanica						
RACCOLTA.SC6	3x(1x70)	RAME	971,6	245,5	55,5	30	-1,43	
	RG7H1R 26/45 kV	HEPR	1	0,93	51,6	1,002*10 <sup>8</sup>	-1,8	
	CEI 11-17 (Media)	M - Cavi unipolari direttamente interrati con protezion meccanica						
RACCOLTA.SC10	3x(1x70)	RAME	803,2	245,5	43,2	30	-1,33	
	RG7H1R 26/45 kV	HEPR	1	0,93	43,4	1,002*10 <sup>8</sup>	-1,71	
	CEI 11-17 (Media)	M - Cavi unipolari direttamente interrati con protezion meccanica						
RACCOLTA.SC12	3x(1x70)	RAME	2100	245,5	39,2	30	-1,51	
	RG7H1R 26/45 kV	HEPR	1	0,93	40,5	1,002*10 <sup>8</sup>	-1,92	
	CEI 11-17 (Media)	M - Cavi unipolari direttamente interrati con protezion meccanica						
RACCOLTA.SC17	3x(1x70)	RAME	3034	245,5	53,5	30	-1,93	
	RG7H1R 26/45 kV	HEPR	1	0,93	58,8	1,002*10 <sup>8</sup>	-2,42	
	CEI 11-17 (Media)	M - Cavi unipolari direttamente interrati con protezion meccanica						



## **Cavetteria**

Commessa:

Descrizione:

Cliente:

Responsabile:

Data: 27/04/2023

Alimentazioni:

Tipo di quadro:

Grado di protezione:

Materiali usati:

Riferimenti:

Operatore:

Note:

Utenza	Formazione	Materiale	Lc [m]	Iz [A]	T (Ib) [°C]	Tamb [°C]	CdtT (Ib) [%]	Posa cavo
	Designazione	Isolante	Pross.	k decl.	T (In) [°C]	K <sup>2</sup> S <sup>2</sup> F [A <sup>2</sup> s]	CdtT (In) [%]	
	Tab. posa	Tipo posa						

## SC1 SC1

SC1.SC2	3x(1x70)	RAME	816,7	245,5	35,9	30	-1,34	
	RG7H1R 26/45 kV	HEPR	1	0,93	38	1,002*10 <sup>8</sup>	-1,74	
	CEI 11-17 (Media)	M - Cavi unipolari direttamente interrati con protezion meccanica						

## SC2 SC2

SC2.SC3	3x(1x70)	RAME	8,7	245,5	31,5	30	-1,34	
	RG7H1R 26/45 kV	HEPR	1	0,93	32	1,002*10 <sup>8</sup>	-1,75	
	CEI 11-17 (Media)	M - Cavi unipolari direttamente interrati con protezion meccanica						



## **Cavetteria**

Commessa:

Descrizione:

Cliente:

Responsabile:

Data: 27/04/2023

Alimentazioni:

Tipo di quadro:

Grado di protezione:

Materiali usati:

Riferimenti:

Operatore:

Note:

Utenza	Formazione	Materiale	Lc [m]	Iz [A]	T (Ib) [°C]	Tamb [°C]	CdtT (Ib) [%]	Posa cavo
	Designazione	Isolante	Pross.	k decl.	T (In) [°C]	K <sup>2</sup> S <sup>2</sup> F [A <sup>2</sup> s]	CdtT (In) [%]	
	Tab. posa	Tipo posa						

### SC6 SC6

SC6.SC5	3x(1x70)	RAME	28,5	245,5	43,2	30	-1,44	
	RG7H1R 26/45 kV	HEPR	1	0,93	48	1,002*10 <sup>8</sup>	-1,8	
	CEI 11-17 (Media)	M - Cavi unipolari direttamente interrati con protezion meccanica						

### SC5 SC5

SC5.SC7	3x(1x70)	RAME	24,5	245,5	35,9	30	-1,44	
	RG7H1R 26/45 kV	HEPR	1	0,93	38	1,002*10 <sup>8</sup>	-1,81	
	CEI 11-17 (Media)	M - Cavi unipolari direttamente interrati con protezion meccanica						

### SC7 SC7

SC7.SC4	3x(1x70)	RAME	25	245,5	31,5	30	-1,44	
	RG7H1R 26/45 kV	HEPR	1	0,93	32	1,002*10 <sup>8</sup>	-1,81	
	CEI 11-17 (Media)	M - Cavi unipolari direttamente interrati con protezion meccanica						



## **Cavetteria**

Commessa:

Descrizione:

Cliente:

Responsabile:

Data: 27/04/2023

Alimentazioni:

Tipo di quadro:

Grado di protezione:

Materiali usati:

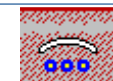
Riferimenti:

Operatore:

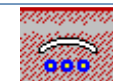
Note:

Utenza	Formazione	Materiale	Lc [m]	Iz [A]	T (Ib) [°C]	Tamb [°C]	CdtT (Ib) [%]	Posa cavo
	Designazione	Isolante	Pross.	k decl.	T (In) [°C]	K²S² F [A²s]	CdtT (In) [%]	
	Tab. posa	Tipo posa						

### SC10 SC10

SC10.SC09	3x(1x70)	RAME	20	245,5	35,9	30	-1,34	
	RG7H1R 26/45 kV	HEPR	1	0,93	38,1	1,002*10 <sup>8</sup>	-1,72	
	CEI 11-17 (Media)	M - Cavi unipolari direttamente interrati con protezion meccanica						

### SC09 SC09

SC09.SC08	3x(1x70)	RAME	24	245,5	31,5	30	-1,34	
	RG7H1R 26/45 kV	HEPR	1	0,93	32,2	1,002*10 <sup>8</sup>	-1,72	
	CEI 11-17 (Media)	M - Cavi unipolari direttamente interrati con protezion meccanica						



## **Cavetteria**

Commessa:

Descrizione:

Cliente:

Responsabile:

Data: 27/04/2023

Alimentazioni:

Tipo di quadro:

Grado di protezione:

Materiali usati:

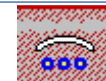
Riferimenti:

Operatore:

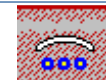
Note:

Utenza	Formazione	Materiale	Lc [m]	Iz [A]	T (Ib) [°C]	Tamb [°C]	CdtT (Ib) [%]	Posa cavo
	Designazione	Isolante	Pross.	k decl.	T (In) [°C]	K <sup>2</sup> S <sup>2</sup> F [A <sup>2</sup> s]	CdtT (In) [%]	
	Tab. posa	Tipo posa						

### SC12 SC12

SC12.SC13	3x(1x70)	RAME	262,4	245,5	33,7	30	-1,53	
	RG7H1R 26/45 kV	HEPR	1	0,93	36,4	1,002*10 <sup>8</sup>	-1,95	
	CEI 11-17 (Media)	M - Cavi unipolari direttamente interrati con protezion meccanica						

### SC13 SC13

SC13.SC11	3x(1x70)	RAME	27,5	245,5	31,5	30	-1,53	
	RG7H1R 26/45 kV	HEPR	1	0,93	32	1,002*10 <sup>8</sup>	-1,96	
	CEI 11-17 (Media)	M - Cavi unipolari direttamente interrati con protezion meccanica						



## **Cavetteria**

Commessa:

Descrizione:

Cliente:

Responsabile:

Data: 27/04/2023

Alimentazioni:

Tipo di quadro:

Grado di protezione:

Materiali usati:

Riferimenti:

Operatore:

Note:

Utenza	Formazione	Materiale	Lc [m]	Iz [A]	T (Ib) [°C]	Tamb [°C]	CdtT (Ib) [%]	Posa cavo
	Designazione	Isolante	Pross.	k decl.	T (In) [°C]	K²S² F [A²s]	CdtT (In) [%]	
	Tab. posa	Tipo posa						

### SC17 SC17

SC17.SC18	3x(1x70)	RAME	25,6	245,5	43,2	30	-1,93	
	RG7H1R 26/45 kV	HEPR	1	0,93	58,8	1,002*10 <sup>8</sup>	-2,43	
	CEI 11-17 (Media)	M - Cavi unipolari direttamente interrati con protezion meccanica						

### SC18 SC18

SC18.SC14	3x(1x70)	RAME	696,5	245,5	39,8	30	-2,04	
	RG7H1R 26/45 kV	HEPR	1	0,93	48	1,002*10 <sup>8</sup>	-2,59	
	CEI 11-17 (Media)	M - Cavi unipolari direttamente interrati con protezion meccanica						

### SC14 SC14

SC14.SC15	3x(1x70)	RAME	26,8	245,5	33,7	30	-2,04	
	RG7H1R 26/45 kV	HEPR	1	0,93	38	1,002*10 <sup>8</sup>	-2,59	
	CEI 11-17 (Media)	M - Cavi unipolari direttamente interrati con protezion meccanica						

### SC15 SC15

SC15.SC16	3x(1x70)	RAME	22,3	245,5	30,5	30	-2,04	
	RG7H1R 26/45 kV	HEPR	1	0,93	32	1,002*10 <sup>8</sup>	-2,59	
	CEI 11-17 (Media)	M - Cavi unipolari direttamente interrati con protezion meccanica						

## Dati salienti utenza

Commessa:

Descrizione:

Cliente:

Responsabile:

Data: 27/04/2023

Alimentazioni:

Tipo di quadro:

Grado di protezione:

Materiali usati:

Riferimenti:

Operatore:

Note:

## Dati salienti utenza

Utenza	Sistema	Circuito	Pn [kW]	Coef.	Pd [kW]	Cosfi	Ikm max [kA]	Formazione	Lc [m]	Vn [V]	CdtT (Ib) [%]	Ib<=In<=Iz
<b>RACCOLTA ARRIVO_AT</b>												
ARRIVO_AT	Alta	3F	39921		39921		7,29	3x(1x500)	9000	36000	-1,19	640,3<=650<=690,1 A
<b>RACCOLTA CAMPO RACCOLTA</b>												
RACCOLTA.SC1	Alta	3F	7187		7187		5,24	3x(1x70)	280,2	36000	-1,24	115,3<=170<=245,5 A
RACCOLTA.SC6	Alta	3F	9982		9982		5,2	3x(1x70)	971,6	36000	-1,43	160,1<=170<=245,5 A
RACCOLTA.SC10	Alta	3F	7187		7187		5,24	3x(1x70)	803,2	36000	-1,33	115,3<=170<=245,5 A
RACCOLTA.SC12	Alta	3F	5987		5987		5,26	3x(1x70)	2100	36000	-1,51	96<=170<=245,5 A
RACCOLTA.SC17	Alta	3F	9578		9578		5,21	3x(1x70)	3034	36000	-1,93	153,6<=170<=245,5 A



## Dati salienti utenza

Commessa:

Descrizione:

Cliente:

Responsabile:

Data: 27/04/2023

Alimentazioni:

Tipo di quadro:

Grado di protezione:

Materiali usati:

Riferimenti:

Operatore:

Note:

Utenza	Sistema	Circuito	Pn [kW]	Coef.	Pd [kW]	Cosfi	Ikm max [kA]	Formazione	Lc [m]	Vn [V]	CdtT (Ib) [%]	Ib<=In<=Iz
<b>SC1 SC1</b>												
SC1.RACCOLTA L1	Alta	3F	7187		7187		5,14		0	36000	-1,24	115,3<=134,6 A (Ib<=In)
SC1.SC2	Alta	3F	4791		4791		5,18	3x(1x70)	816,7	36000	-1,34	76,8<=89,7<=245,5 A
<b>SC2 SC2</b>												
SC2.SC1	Alta	3F	4791		4791		4,91		0	36000	-1,34	76,8<=89,7 A (Ib<=In)
SC2.SC3	Alta	3F	2396		2396		4,95	3x(1x70)	8,7	36000	-1,34	38,4<=44,9<=245,5 A
<b>SC3 SC3</b>												
SC3.SC2	Alta	3F	2396		2396		4,95		0	36000	-1,34	38,4<=44,9 A (Ib<=In)



## Dati salienti utenza

Commessa:

Descrizione:

Cliente:

Responsabile:

Data: 27/04/2023

Alimentazioni:

Tipo di quadro:

Grado di protezione:

Materiali usati:

Riferimenti:

Operatore:

Note:

## Dati salienti utenza

Data: 27/04/2023

Responsabile:

Cliente:

Utenza	Sistema	Circuito	Pn [kW]	Coef.	Pd [kW]	Cosfi	Ikm max [kA]	Formazione	Lc [m]	Vn [V]	CdtT (Ib) [%]	Ib<=In<=Iz
<b>SC6 SC6</b>												
SC6.RACCOLTA L2	Alta	3F	9982		9982		4,88		0	36000	-1,43	160,1<=170 A (Ib<=In)
SC6.SC5	Alta	3F	7187		7187		4,93	3x(1x70)	28,5	36000	-1,44	115,3<=134,6<=245,5 A
<b>SC5 SC5</b>												
SC5.SC6	Alta	3F	7187		7187		4,92		0	36000	-1,44	115,3<=134,6 A (Ib<=In)
SC5.SC7	Alta	3F	4791		4791		4,96	3x(1x70)	24,5	36000	-1,44	76,8<=89,7<=245,5 A
<b>SC7 SC7</b>												
SC7.SC5	Alta	3F	4791		4791		4,95		0	36000	-1,44	76,8<=89,7 A (Ib<=In)
SC7.SC4	Alta	3F	2396		2396		4,99	3x(1x70)	25	36000	-1,44	38,4<=44,9<=245,5 A
<b>SC4 SC4</b>												
SC4.SC7	Alta	3F	2396		2396		4,98		0	36000	-1,44	38,4<=44,9 A (Ib<=In)



## Dati salienti utenza

Commessa:

Descrizione:

Cliente:

Responsabile:

Data: 27/04/2023

Alimentazioni:

Tipo di quadro:

Grado di protezione:

Materiali usati:

Riferimenti:

Operatore:

Note:

## Dati salienti utenza

Data: 27/04/2023

Responsabile:

Cliente:

Utenza	Sistema	Circuito	Pn [kW]	Coef.	Pd [kW]	Cosfi	Ikm max [kA]	Formazione	Lc [m]	Vn [V]	CdtT (Ib) [%]	Ib<=In<=Iz
<b>SC10 SC10</b>												
SC10.RACCOLTA L3	Alta	3F	7187		7187		4,97		0	36000	-1,33	115,3<=116 A (Ib<=In)
SC10.SC09	Alta	3F	4791		4791		5,01	3x(1x70)	20	36000	-1,34	76,8<=90,2<=245,5 A
<b>SC09 SC09</b>												
SC09.SC10	Alta	3F	4791		4791		5		0	36000	-1,34	76,8<=90,2 A (Ib<=In)
SC09.SC08	Alta	3F	2396		2396		5,04	3x(1x70)	24	36000	-1,34	38,4<=47,2<=245,5 A
<b>SC08 SC08</b>												
SC08.SC09	Alta	3F	2396		2396		5,03		0	36000	-1,34	38,4<=47,2 A (Ib<=In)



## Dati salienti utenza

Commessa:

Descrizione:

Cliente:

Responsabile:

Data: 27/04/2023

Alimentazioni:

Tipo di quadro:

Grado di protezione:

Materiali usati:

Riferimenti:

Operatore:

Note:

## Dati salienti utenza

Data: 27/04/2023

Responsabile:

Cliente:

Utenza	Sistema	Circuito	Pn [kW]	Coef.	Pd [kW]	Cosfi	Ikm max [kA]	Formazione	Lc [m]	Vn [V]	CdtT (Ib) [%]	Ib<=In<=Iz
<b>SC12 SC12</b>												
SC12.RACCOLTA L4	Alta	3F	5987		5987		4,6		0	36000	-1,51	96<=102,6 A (Ib<=In)
SC12.SC13	Alta	3F	3791		3791		4,64	3x(1x70)	262,4	36000	-1,53	60,8<=80<=245,5 A
<b>SC13 SC13</b>												
SC13.SC12	Alta	3F	3791		3791		4,56		0	36000	-1,53	60,8<=80 A (Ib<=In)
SC13.SC11	Alta	3F	2396		2396		4,58	3x(1x70)	27,5	36000	-1,53	38,4<=44,9<=245,5 A
<b>SC11 SC11</b>												
SC11.SC13	Alta	3F	2396		2396		4,58		0	36000	-1,53	38,4<=44,9 A (Ib<=In)



## Dati salienti utenza

Commessa:

Descrizione:

Cliente:

Responsabile:

Data: 27/04/2023

Alimentazioni:

Tipo di quadro:

Grado di protezione:

Materiali usati:

Riferimenti:

Operatore:

Note:

Utenza	Sistema	Circuito	Pn [kW]	Coef.	Pd [kW]	Cosfi	Ikm max [kA]	Formazione	Lc [m]	Vn [V]	CdtT (Ib) [%]	Ib<=In<=Iz
<b>SC17 SC17</b>												
SC17.RACCOLTA L5	Alta	3F	9578		9578		4,32		0	36000	-1,93	153,6<=170 A (Ib<=In)
SC17.SC18	Alta	3F	7182		7182		4,36	3x(1x70)	25,6	36000	-1,93	115,2<=170<=245,5 A
<b>SC18 SC18</b>												
SC18.SC17	Alta	3F	7182		7182		4,36		0	36000	-1,93	115,2<=170 A (Ib<=In)
SC18.SC14	Alta	3F	6187		6187		4,37	3x(1x70)	696,5	36000	-2,04	99,2<=134,6<=245,5 A
<b>SC14 SC14</b>												
SC14.SC18	Alta	3F	6187		6187		4,2		0	36000	-2,04	99,2<=134,6 A (Ib<=In)
SC14.SC15	Alta	3F	3791		3791		4,25	3x(1x70)	26,8	36000	-2,04	60,8<=89,7<=245,5 A
<b>SC15 SC15</b>												
SC15.SC14	Alta	3F	3791		3791		4,24		0	36000	-2,04	60,8<=89,7 A (Ib<=In)
SC15.SC16	Alta	3F	1396		1396		4,29	3x(1x70)	22,3	36000	-2,04	22,4<=44,9<=245,5 A
<b>SC16 SC16</b>												
SC16.SC15	Alta	3F	1396		1396		4,28		0	36000	-2,04	22,4<=44,9 A (Ib<=In)
SC16.TRAFO	Alta	3F	1396		1396		4,28		0	36000	-2,04	22,4<=44,9 A (Ib<=In)

## Verifiche

Commessa:

Descrizione:

Cliente:

Responsabile:

Data: 27/04/2023

Alimentazioni:

Tipo di quadro:

Grado di protezione:

Materiali usati:

Riferimenti:

Operatore:

Note:

# Verifiche

Data: 27/04/2023

Responsabile:

Cliente:

Utenza	$I_b \leq I_n \leq I_z$	Verif. PdI	Ver. I <sup>2</sup> t	$I_{mag} < I_{magmax}$	Contatti indiretti	CdtT (I <sub>b</sub> )
<b>RACCOLTA ARRIVO_AT</b>						
ARRIVO_AT	640,3 ≤ 650 ≤ 690,1 A	25 ≥ 7,29 kA	Verificato	Prot. contatti indiretti	Verificato	-1,19 ≤ 4 %
<b>RACCOLTA CAMPO RACCOLTA</b>						
RACCOLTA.SC1	115,3 ≤ 170 ≤ 245,5 A		Verificato		Verificato	-1,24 ≤ 4 %
RACCOLTA.SC6	160,1 ≤ 170 ≤ 245,5 A		Verificato		Verificato	-1,43 ≤ 4 %
RACCOLTA.SC10	115,3 ≤ 170 ≤ 245,5 A		Verificato		Verificato	-1,33 ≤ 4 %
RACCOLTA.SC12	96 ≤ 170 ≤ 245,5 A		Verificato		Verificato	-1,51 ≤ 4 %
RACCOLTA.SC17	153,6 ≤ 170 ≤ 245,5 A		Verificato		Verificato	-1,93 ≤ 4 %



## Verifiche

Commessa:

Descrizione:

Cliente:

Responsabile:

Data: 27/04/2023

Alimentazioni:

Tipo di quadro:

Grado di protezione:

Materiali usati:

Riferimenti:

Operatore:

Note:

Utenza	$I_b \leq I_n \leq I_z$	Verif. PdI	Ver. I <sup>2</sup> t	$I_{mag} < I_{magmax}$	Contatti indiretti	CdT (I <sub>b</sub> )
<b>SC1 SC1</b>						
SC1.RACCOLTA L1	115,3 <= 134,6 A (I <sub>b</sub> <= I <sub>n</sub> )	25 >= 5,14 kA		1000 < 2905 A	Verificato	-1,24 <= 4 %
SC1.SC2	76,8 <= 89,7 <= 245,5 A	25 >= 5,18 kA	Verificato	1000 < 2826 A	Verificato	-1,34 <= 4 %
<b>SC2 SC2</b>						
SC2.SC1	76,8 <= 89,7 A (I <sub>b</sub> <= I <sub>n</sub> )	25 >= 4,91 kA		1000 < 2826 A	Verificato	-1,34 <= 4 %
SC2.SC3	38,4 <= 44,9 <= 245,5 A	25 >= 4,95 kA	Verificato	1000 < 2844 A	Verificato	-1,34 <= 4 %
<b>SC3 SC3</b>						
SC3.SC2	38,4 <= 44,9 A (I <sub>b</sub> <= I <sub>n</sub> )	25 >= 4,95 kA		1000 < 2844 A	Verificato	-1,34 <= 4 %



## Verifiche

Commessa:

Descrizione:

Cliente:

Responsabile:

Data: 27/04/2023

Alimentazioni:

Tipo di quadro:

Grado di protezione:

Materiali usati:

Riferimenti:

Operatore:

Note:

Utenza	$I_b <= I_n <= I_z$	Verif. PdI	Ver. I <sup>2</sup> t	$I_{mag} < I_{magmax}$	Contatti indiretti	CdT (I <sub>b</sub> )
<b>SC6 SC6</b>						
SC6.RACCOLTA L2	Non verificato	25 >= 4,88 kA		1000 < 2809 A	Verificato	-1,43 <= 4 %
SC6.SC5	115,3 <= 134,6 <= 245,5 A	25 >= 4,93 kA	Verificato	1000 < 2828 A	Verificato	-1,44 <= 4 %
<b>SC5 SC5</b>						
SC5.SC6	115,3 <= 134,6 A (I <sub>b</sub> <= I <sub>n</sub> )	25 >= 4,92 kA		1000 < 2828 A	Verificato	-1,44 <= 4 %
SC5.SC7	76,8 <= 89,7 <= 245,5 A	25 >= 4,96 kA	Verificato	1000 < 2843 A	Verificato	-1,44 <= 4 %
<b>SC7 SC7</b>						
SC7.SC5	76,8 <= 89,7 A (I <sub>b</sub> <= I <sub>n</sub> )	25 >= 4,95 kA		1000 < 2843 A	Verificato	-1,44 <= 4 %
SC7.SC4	38,4 <= 44,9 <= 245,5 A	25 >= 4,99 kA	Verificato	1000 < 2859 A	Verificato	-1,44 <= 4 %
<b>SC4 SC4</b>						
SC4.SC7	38,4 <= 44,9 A (I <sub>b</sub> <= I <sub>n</sub> )	25 >= 4,98 kA		1000 < 2859 A	Verificato	-1,44 <= 4 %



## Verifiche

Commessa:

Descrizione:

Cliente:

Responsabile:

Data: 08/05/2023

Alimentazioni:

Tipo di quadro:

Grado di protezione:

Materiali usati:

Riferimenti:

Operatore:

Note:

Utenza	$I_b \leq I_n \leq I_z$	Verif. PdI	Ver. I <sup>2</sup> t	$I_{mag} < I_{magmax}$	Contatti indiretti	CdT (I <sub>b</sub> )
<b>SC10 SC10</b>						
SC10.RACCOLTA L3	115,3 <= 116 A (I <sub>b</sub> <= I <sub>n</sub> )	25 >= 4,97 kA		1000 < 2845 A	Verificato	-1,33 <= 4 %
SC10.SC09	76,8 <= 90,2 <= 245,5 A	25 >= 5,01 kA	Verificato	1000 < 3871 A	Verificato	-1,34 <= 4 %
<b>SC09 SC09</b>						
SC09.SC10	76,8 <= 90,2 A (I <sub>b</sub> <= I <sub>n</sub> )	25 >= 5 kA		1000 < 3871 A	Verificato	-1,34 <= 4 %
SC09.SC08	38,4 <= 47,2 <= 245,5 A	25 >= 5,04 kA	Verificato	1000 < 3899 A	Verificato	-1,34 <= 4 %
<b>SC08 SC08</b>						
SC08.SC09	38,4 <= 47,2 A (I <sub>b</sub> <= I <sub>n</sub> )	25 >= 5,03 kA		1000 < 3899 A	Verificato	-1,34 <= 4 %



## Verifiche

Commessa:

Descrizione:

Cliente:

Responsabile:

Data: 27/04/2023

Alimentazioni:

Tipo di quadro:

Grado di protezione:

Materiali usati:

Riferimenti:

Operatore:

Note:

Utenza	$I_b \leq I_n \leq I_z$	Verif. PdI	Ver. I <sup>2</sup> t	$I_{mag} < I_{magmax}$	Contatti indiretti	CdT (I <sub>b</sub> )
<b>SC12 SC12</b>						
SC12.RACCOLTA L4	$96 \leq 102,6 \text{ A } (I_b \leq I_n)$	$25 \geq 4,6 \text{ kA}$		$1000 < 3434 \text{ A}$	Verificato	$-1,51 \leq 4 \%$
SC12.SC13	$60,8 \leq 80 \leq 245,5 \text{ A}$	$25 \geq 4,64 \text{ kA}$	Verificato	$1000 < 3392 \text{ A}$	Verificato	$-1,53 \leq 4 \%$
<b>SC13 SC13</b>						
SC13.SC12	$60,8 \leq 80 \text{ A } (I_b \leq I_n)$	$25 \geq 4,56 \text{ kA}$		$1000 < 3392 \text{ A}$	Verificato	$-1,53 \leq 4 \%$
SC13.SC11	$38,4 \leq 44,9 \leq 245,5 \text{ A}$	$25 \geq 4,58 \text{ kA}$	Verificato	$1000 < 3407 \text{ A}$	Verificato	$-1,53 \leq 4 \%$
<b>SC11 SC11</b>						
SC11.SC13	$38,4 \leq 44,9 \text{ A } (I_b \leq I_n)$	$25 \geq 4,58 \text{ kA}$		$1000 < 3407 \text{ A}$	Verificato	$-1,53 \leq 4 \%$



## Verifiche

Commessa:

Descrizione:

Cliente:

Responsabile:

Data: 27/04/2023

Alimentazioni:

Tipo di quadro:

Grado di protezione:

Materiali usati:

Riferimenti:

Operatore:

Note:

Utenza	$I_b \leq I_n \leq I_z$	Verif. PdI	Ver. I <sup>2</sup> t	$I_{mag} < I_{magmax}$	Contatti indiretti	CdT (I <sub>b</sub> )
<b>SC17 SC17</b>						
SC17.RACCOLTA L5	153,6 <= 170 A (I <sub>b</sub> <= I <sub>n</sub> )	25 >= 4,32 kA		1000 < 2582 A	Verificato	-1,93 <= 4 %
SC17.SC18	115,2 <= 170 <= 245,5 A	25 >= 4,36 kA	Verificato	1000 < 2602 A	Verificato	-1,93 <= 4 %
<b>SC18 SC18</b>						
SC18.SC17	115,2 <= 170 A (I <sub>b</sub> <= I <sub>n</sub> )	25 >= 4,36 kA		1000 < 2602 A	Verificato	-1,93 <= 4 %
SC18.SC14	99,2 <= 134,6 <= 245,5 A	25 >= 4,37 kA	Verificato	1000 < 2533 A	Verificato	-2,04 <= 4 %
<b>SC14 SC14</b>						
SC14.SC18	99,2 <= 134,6 A (I <sub>b</sub> <= I <sub>n</sub> )	25 >= 4,2 kA		1000 < 2533 A	Verificato	-2,04 <= 4 %
SC14.SC15	60,8 <= 89,7 <= 245,5 A	25 >= 4,25 kA	Verificato	1000 < 2555 A	Verificato	-2,04 <= 4 %
<b>SC15 SC15</b>						
SC15.SC14	60,8 <= 89,7 A (I <sub>b</sub> <= I <sub>n</sub> )	25 >= 4,24 kA		1000 < 2555 A	Verificato	-2,04 <= 4 %
SC15.SC16	22,4 <= 44,9 <= 245,5 A	25 >= 4,29 kA	Verificato	1000 < 2578 A	Verificato	-2,04 <= 4 %
<b>SC16 SC16</b>						
SC16.SC15	22,4 <= 44,9 A (I <sub>b</sub> <= I <sub>n</sub> )	25 >= 4,28 kA		1000 < 2578 A	Verificato	-2,04 <= 4 %
SC16.TRAFO	22,4 <= 44,9 A (I <sub>b</sub> <= I <sub>n</sub> )	25 >= 4,28 kA		1000 < 2578 A	Verificato	-2,04 <= 4 %